

Vysoká škola strojní a textilní v Liberci  
Fakulta strojní

Obor 23-21-8  
Stroje a zařízení pro chemický, potravinářský  
a spotřební průmysl

Zaměření  
Sklářské a keramické stroje

Katedra sklářských a keramických strojů

STABILITA LAHVÍ PŘI PŘESOUVÁNÍ

Oldřich Kočí

215/92

Vedoucí práce: ing. Jan Cibulka CSc., VŠST Liberec, KSK

Konzultant: ing. Oldřich Mikulec, Sklostroj Turnov, výzkum  
a vývoj

Rozsah práce a příloh:

Počet stran.....	53
Počet příloh.....	10
a tabulek.....	3
Počet obrázků.....	19
Počet výkresů.....	0
Počet modelů .....	
nebo jiných příloh.....	0

UNIVERZITNÍ KNIHOVNA  
TECHNICKÉ UNIVERZITY V LIBERCI



3146075797

Datum: 3. 12. 1992

VYSOKÁ ŠKOLA STROJNÍ A TEXTILNÍ V LIBERCI

Fakulta strojní

Katedra  
sklářských a keramických strojů

Školní rok: 1991/92

## ZADÁNÍ DIPLOMOVÉ PRÁCE

pro Oldřicha Kočího

obor Stroje a zařízení pro chemický, potravinářský  
a spotřební průmysl

Vedoucí katedry Vám ve smyslu zákona č. 172/1990 Sb. o vysokých školách určuje tuto diplomovou práci:

Název tématu: Stabilita lahvi při přesouvání

### Zásady pro vypracování.

Řadové stroje typu AL pracují s nižší výrobní rychlostí než srovnatelné zahraniční stroje. Ve své DP se zaměřte na manipulaci s lahvi od odstávky až po zasunutí do chladicí peci. Proveďte:

1. Vytipování kritických míst.
2. Rozbor veličin ovlivňujících bezchybnou manipulaci v kritických místech.
3. Shrnutí dosavadních poznatků a známých parametrů.
4. Určení předpokládaných vyšších hodnot daných výrobní rychlostí.
5. Určete, která kritická místa nevyhovují vyšším požadavkům.
6. Technickoekonomické zhodnocení.

VYSOKÁ ŠKOLA STROJNÍ A TEXTILNÍ  
Ústřední knihovna  
LIBEREC, STUDENTSKÁ 6  
PSČ 461 17

V 12/93 S

KSK/SK

Rozsah grafických prací: cca 40 - 50 stran textu doplněného  
Rozsah průvodní zprávy: příslušnými obrázky, grafy, výpočty  
Seznam odborné literatury:

- /1/ Úplná výkresová dokumentace stroje AL
- /2/ Výzkumné zprávy KSK
- /3/ Diplomové práce KSK

Vedoucí diplomové práce: Ing. Jan Cibulka, CSc.

Konzultant: Ing. Ivo Matoušek, VŠST - KSK

Ing. Oldřich Mikulec, specialista výzkumu a vývoje, Sklostroj,  
Turnov

Zadání diplomové práce: 31. 10. 1991

Termín odevzdání diplomové práce: 29. 5. 1992



Vedoucí katedry  
Doc. Ing. Vladimír Klebsa, CSc.

Děkan *Exner*  
Prof. Ing. Jaroslav Exner, CSc.

*Klebsa*

V Liberci

dne 31. 10. 1991

"Místopřísežně prohlašuji, že jsem diplomovou práci vypracoval samostatně s použitím uvedené literatury."

v Semilech 3.12. 1992

Ondřich Kouf

Vysoká škola strojní a textilní v Liberci

Fakulta strojní

Katedra sklářských a keramických strojů

Obor: 23-21-8

Diplomant: Oldřich Kočí

Téma: Stabilita lahví při přesouvání

Číslo DP: 215/92

Vedoucí DP: Ing. Jan Cibulka, CSc.

Konzultant: Ing. Oldřich Mikulec

Ing. Ivo Matoušek

**Stručný výtah:** Tato diplomová práce se zabývá výrobou obalového skla na řadovém automatu typu AL 118 konkrétně rozbořením a hodnocením činitelů ovlivňujících stabilitu lahví při přesouvání z odstávky na dopravník, z dopravníku na dopravník zasouvače a z dopravníku zasouvače do chladicí peci při zvýšených hodnotách výrobních rychlostí.

## OBSAH

Seznam použitých zkratek a symbolů	str. 6
1. Úvod	str. 6
2. POPIS LINKY NA OBALOVÉ SKLO	
SHRNUTÍ ZNÁMÝCH PARAMETRŮ	str. 12
2.1. Popis linky na obalové sklo	str. 12
2.2. Charakteristika výrobků vyráběných na automatech AL 118	str. 18
3. TEORETICKÝ ROZBOR VELIČIN OVLIVŇUJÍCÍCH STABILITU LÁHVÍ	
MODELOVÉ SITUACE	str. 19
3.1. Přímočarý rovnoměrný pohyb láhvě na pásu	str. 19
3.2. Rovnoměrně zrychlený (zpomalený) pohyb láhvě při položení na pohybující se pás	str. 19
3.3. Stabilita láhvě při nuceném pohybu po kruhové dráze	str. 20
3.4. Obecný pohyb láhvě (existuje-li relativní pohyb láhvě)	str. 23
3.5. Stabilita láhvě při překonávání překážky ("schodu"), vliv polohy působící síly na přesouvací rychlosť	str. 26
3.6. Stabilita láhvě při nuceném pohybu po nakloněné rovině - vliv polohy působící síly vůči těžišti	str. 31
3.7. Vzájemné působení lopatky přesouvače a láhvě - existence pružné vazby	str. 34
4. ZHODNOCENÍ PARAMETRU PŘESOUVACÍCH ZAŘÍZENÍ PŘI PŘEDPOKLÁDANÝCH VYŠŠÍCH HODNOTÁCH VÝROBNÍCH RYCHLOSTÍ	str. 38

5. TECHNICKOEKONOMICKÉ ZHODNOUENÍ	str. 40
6. ZÁVĚR	str. 42
Seznam příloh a přílohy	str. 43
Seznam použité literatury	str. 53

## SEZNAM POUŽITÝCH ZKRATEK A SYMBOLŮ

D - dynamická síla	(N)
F - síla	(N)
FF - dvakrátfoukací způsob	(N)
F <sub>o</sub> - odstředivá síla	(N)
G - tíhová síla	(N)
I <sub>A</sub> - osový moment setrváčnosti	(kg.m <sup>2</sup> )
I <sub>zx</sub> , I <sub>zy</sub> - rovinné momenty setrváčnosti	(kg.m <sup>2</sup> )
L - vzdálenost jednotlivých sekcí stroje	(m)
LF - lisofoukací způsob	(N)
N, N <sub>i</sub> - normálové reakce	(N)
PD - pásový dopravník	(N)
R - poloměr přesouvání	(m)
ŘS - řadový stroj	(N)
S - označení těžiště	(N)
ŠH - širokohrdlý skleněný obal	(N)
T, T <sub>i</sub> - třecí síly	(N)
UH - úzkohrdlý skleněný obal	(N)
V - výsledná reakce	(N)
a - zrychlení	(m.s <sup>-2</sup> )
a <sub>x</sub> - zrychlení ve směru x	(m.s <sup>-2</sup> )
a <sub>t</sub> - tečné zrychlení	(m.s <sup>-2</sup> )
a <sub>c</sub> - Coriolisovo zrychlení	(m.s <sup>-2</sup> )
a <sub>z1</sub> - zrychlení unášivého pohybu	(m.s <sup>-2</sup> )
a <sub>z2</sub> - zrychlení relativního pohybu	(m.s <sup>-2</sup> )
a <sub>z3</sub> - zrychlení absolutního pohybu	(m.s <sup>-2</sup> )
d - průměr	(m)
e, e <sub>i</sub> - vzdálenosti os setrváčnosti	(m)

$f, f_1$	- součinitele smykového tření	
$g$	- tíhové zrychlení	(m, s <sup>-2</sup> )
$h_s$	- výška těžiště	(m)
$l$	- rozteč láhví na páse	(m)
$l_1, l_2$	- výška válců	(m)
$l_4$	- vzdálenost láhví ve formě při dvoukapce	(m)
$l_z$	- dráha zastavení	(m)
$m$	- hmotnost	(kg)
$p$	- vzdálenost působící síly od základního rámu	(m)
$r$	- poloměr	(m)
$t$	- čas	(s)
$v$	- rychlosť	(m, s <sup>-1</sup> )
$v_x$	- rychlosť ve směru x	(m, s <sup>-1</sup> )
$v_0$	- počáteční rychlosť	(m, s <sup>-1</sup> )
$v_p$	- rychlosť pásu	(m, s <sup>-1</sup> )
$v_{z1}$	- rychlosť absolutního pohybu	(m, s <sup>-1</sup> )
$v_{z2}$	- rychlosť relativního pohybu	(m, s <sup>-1</sup> )
$v_{z3}$	- rychlosť unášivého pohybu	(m, s <sup>-1</sup> )
$x$	- odlehlosť	(m)

- $\alpha$  - roviný úhel
- $\epsilon$  - zrychlení rotačního pohybu
- $\varphi, \psi$  - roviný úhel
- $\omega$  - úhlová rychlosť
- $\delta$  - úhel pootočení
- $\pi$  - Ludolfovovo číslo
- $\lambda$  - poměr L/l délky zadavacího pásu

## 1. ÚVOD

Výroba skla patří mezi nejstarší druhy výrob na světě. Pro vynález skla nemůžeme sice uvést žádné přesné datum, je ale zřejmé, že vznikalo postupně v době bronzové během 5. a 4. tisíciletí před naším letopočtem jako vedlejší produkt keramické výroby. Svou roli zde sehrály i zkušenosti z výroby kovů a zpracování kamene. Prvními předměty, které se ze skla vyráběly, byly různobarevné opakní korálky. Byly nalezeny na území na území dnešní Sýrie a datují se již do 5. tis. př.n.l. Také nejstarší známé fragmenty dutých nádob jsou asijského původu – pocházejí z Mezopotámie z konce 16. stol. př.n.l. Pro nás zajímavým může být fakt, že technika foukání skla sklářskou pištalou byla vynalezena až v 1. stol. př.n.l., tedy poměrně pozdě. Přesto se však brzy stala hlavním způsobem výroby dutého i užitkového skla.

Ze starověku se přeneseme skokem do blízké minulosti. Ještě začátkem minulého století se foukané užitkové obalové sklo vyrábělo výhradně ručně pomocí sklářské pištaly. Jeden sklář a jeden odnašeč byli schopni vyrobit za 8 hodin práce maximálně 500 lahví. Toto množství v souvislosti se zvyšující se poptávkou po skleněných obalech bylo zcela nedostatečné a tak není divu, že se k problému strojního tvarování skleněných obalů upnulo několik vynálezců. Přes počáteční nepříliš úspěšná řešení se podařilo v roce 1887 angličanovi jménem H.M. Ashley zkonztruovat tvarovací stroj, který již měl všechny znaky moderního dvakrát foukacího stroje.

Dalším skokem se přeneseme opět o několik dalších deseti-letí kupředu, do let po druhé světové válce. Během ní byla strojní výroba sklářského průmyslu podobně jako i jiná prů-

myslová odvětví kromě zbrojního průmyslu dočasně ochromena. V souvislosti s poválečnými politickými změnami v naší zemi došlo i k výrazným změnám ve struktuře sklářského průmyslu, do té doby roztríštěného do řady nevelkých soukromých továren a malovýrobních provozoven. Po znárodnění továren se postupně, v souladu s rozvojem ostatních průmyslových odvětví, začalo rozvíjet i sklářství. Zásadní změna nastala v orientaci na jiný druh výroby, na výrobu technického zaměření – tedy na výrobu technického skla, skleněných vláken, plochého skla a v neposlední řadě skla obalového. Se zvyšujícími se nároky na skleněné obaly, jak co do sortimentu, jakosti a množství přestávaly staré tvarovací automaty typů Owens, Roirant a Lagena zavedené i u nás již počátkem 20. století vyhovovat a tudíž byly nahrazovány novými, výkonnějšími tvarovacími automaty, převážně řadovými, s použitím dvou- respektive tříkapky. Za špičku byl v té době považován automatický stroj Hartford IS. Jelikož však s dovozem těchto amerických strojů byly velké potíže – finanční i jiné, našlo se řešení v podobě tuzemské výroby obdobných výkonných strojů. Úkolu se ujal v té době n.p. Sklářské strojírny a slévárny v Turnově, nynější s.p. Sklostroj Turnov. V těžkých podmínkách se zde podařilo vyrobit prototyp řadového šestistanicového automatu nazvaného AL 106 na výrobu obalového skla, který svými parametry dosahoval tehdejších světových výkonů. Tyto automaty, v podstatě rekonstruované stroje IS, pak byly následně zavedeny ve všech sklárnách na obalové sklo, kde nahradily staré, neekonomické a poruchové linky. Lahvový automat AL 106 však byl pouze prvním z řady, na jejímž konci jsou v současné době připravované řadové stroje nové koncepce AL 106-4 a AL 108-4. Jako

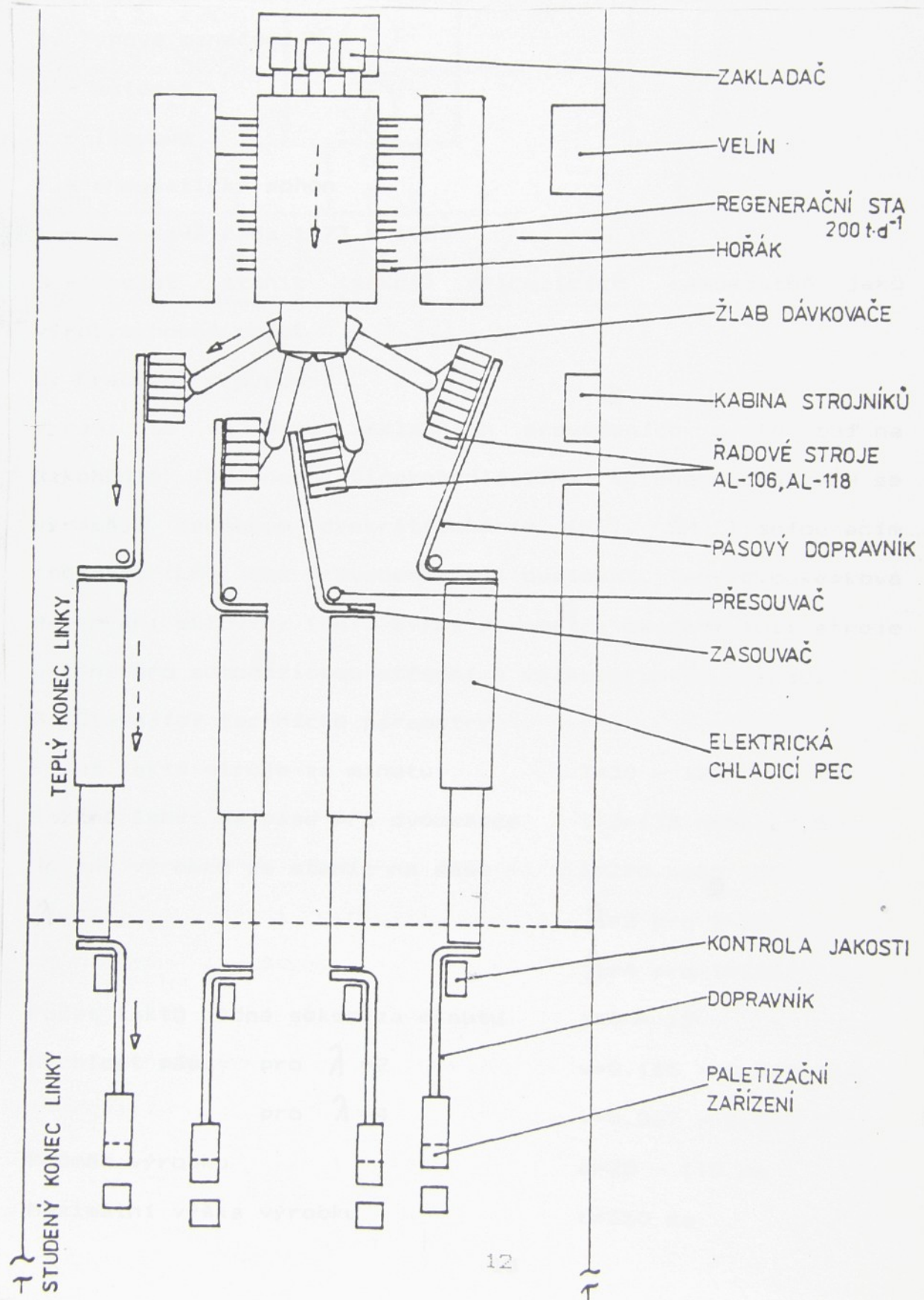
důkaz poctivého tvářčího úsilí všech pracovníků s.p. Sklo-stroj Turnov poslouží dobrě tento stručný výčet nejdůležitějších konstrukčních kroků prezentovaných jednotlivými typy AL. Byly to tedy AL 106, AL 106-1,2, AL 118, AL 116-1 a AL 118-1 a konečně již zmiňované AL 106-4 a AL 108-4. Každý z nich nabízí novější, nápaditější řešení a vyšší technické parametry jako je výkonnost, spolehlivost, efektivnost, kvalita výrobků a další...

Současné tržní podmínky, konkurenční boj o zákazníka nutí podniky, pokud mají životaschopný výrobní program, kromě maximálního důrazu na kvalitu neustále zvyšovat objem výroby bez ohledu na to, mají-li tyto podniky na nákup nových, modernějších (a podstatně dražších) technologických zařízení finanční prostředky, nebo nemají. Děje se tak proto i na strojích staršího typu například právě na AL 118, kterými jsou mimochodem po automatech AL 106 nejčastěji vybaveni naši přední výrobci obalového skla ( Skloobal Němšová, Vetropack Moravia Glass Kyjov, Obal Union Nové Sedlo, Rudolfova Huť Dubí u Teplic a další). Při zvyšování výrobních rychlostí nad současnou horní mez však dochází k některým negativním jevům, k nimž patří především ztráta stabilitu výrobku, která pak nepříznivě ovlivňuje plynulý chod zařízení. Abychom jej mohli upravovat a optimalizovat, musíme vycházet z důkladných znalostí všech faktorů majících vliv v našem případě právě na stabilitu lahvi při přesouvání od jedné technologické operace k druhé.

## 2. POPIS LINKY NA OBALOVÉ SKLO. SHRNUTÍ ZNÁMÝCH PARAMETRŮ.

### 2.1. Popis linky na obalové sklo

Na obr.1 vidíme schematický nákres výrobní linky na obalové sklo tak jak je uveden v literatuře /1/



Obecně se jedná o uspořádání zavedené pochopitelně s menšími obměnami a různým strojním vybavením ve všech podnicích specializovaných na obalové sklo. "Srdcem" linky je v tomto případě řadový stroj AL 118.

Základní technické údaje a parametry.

#### 1. Typové označení

A - automat

L - lahvový

1 - pneumatický pohon

1 - vývojová řada 1973 - 1983

8 - počet stanic (sekcí) pracujících samostatně jako výrobyschopný celek

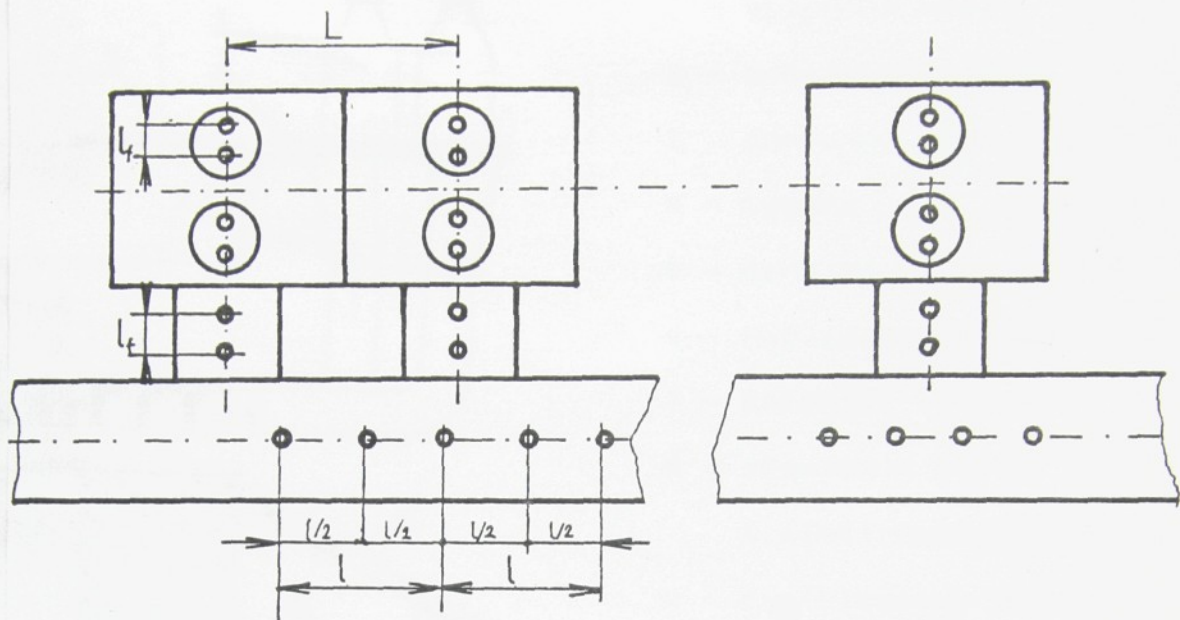
#### 2. Pracovní provedení

Vyrábí se ve dvou základních provedeních a to buď na úzkohrdlé (ÚH) nebo širokohrdlé (ŠH) skleněné obaly. ÚH se vyrábí způsobem dvakrát foukacím (FF), ŠH lisofoukacím způsobem (LF). Obě provedení mají duplexní, tedy dvoukapkové dávkování skloviny (DK). Svými parametry se řadí mezi stroje určené pro automatickou střední a velkosériovou výrobu.

#### 3. Stávající technické parametry

Počet taktů stroje za minutu	T=30 - 120
Rozteč lahví na páse při dvoukapce	1/2=135 nebo 67,5
Rozteč výrobků ze stanic na páse	1=270 nebo 135
$\lambda=L/l$	$\lambda=2$ pro $l=270$ $\lambda=4$ pro $l=135$
Počet taktů jedné sekce za minutu	t=4 - 15
Rychlosť pásu pro $\lambda=2$	v=0,135 - 0,540 m/s
pro $\lambda=4$	v=0,067 - 0,270 m/s
Průměr výrobku	d=25 - 110 mm
Maximální výška výrobku	h=350 mm

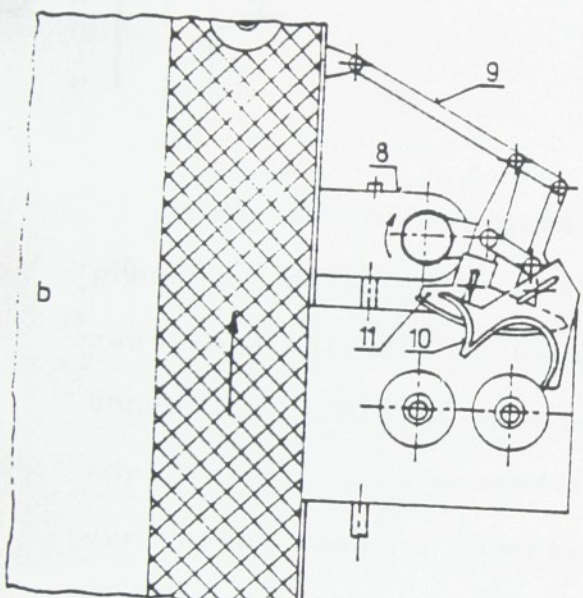
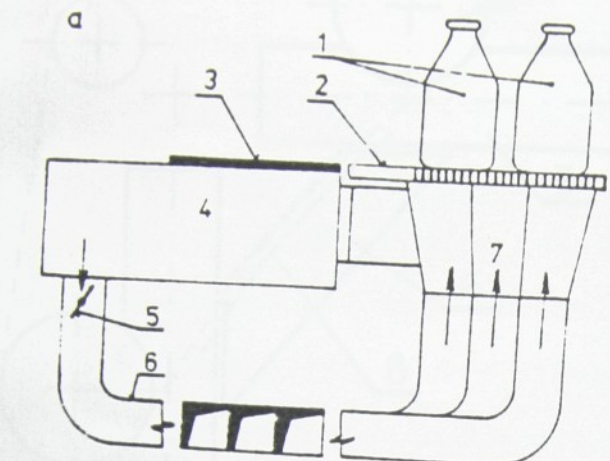
Na obr. 2 jsou označeny některé veličiny uvedené v přehledu.



Obr. 2

Jelikož tato práce má za úkol zhodnotit stabilitu výrobku během transportu z odstávky do chladící peci, budeme se dále podrobněji zabývat touto částí linky.

Po tvarování na AL 118 je láhev odnímačem přemístěna na desku odstávky - viz. obr.3. Jedná se o odstávkový mechanismus typ DŽN - 1. Pohon se sestává z elektromotoru, převodové skříně, předlohy a řetězového převodu. Synchronní vazbu mezi výrobní rychlostí stroje a rychlostí posuvu pásu dopravníku zajišťuje elektromotor, který je ovládán ze skupinového regulačního pohonu. V převodové skříně je zabudován diferenciál pro nastavení fázového posunutí mezi tvarovacím cyklem a činností odstávek.



a - schéma funkce odstávky

b - schéma přesouvacího  
mechanismu odstávky

1 - skleněné obaly

2 - odstávková deska

3 - dopravní pás

4 - komora

5 - škrticí klapka

6 - rozváděcí těleso

7 - chladící vzduch

8 - převodová skříň  
s elektromotorem

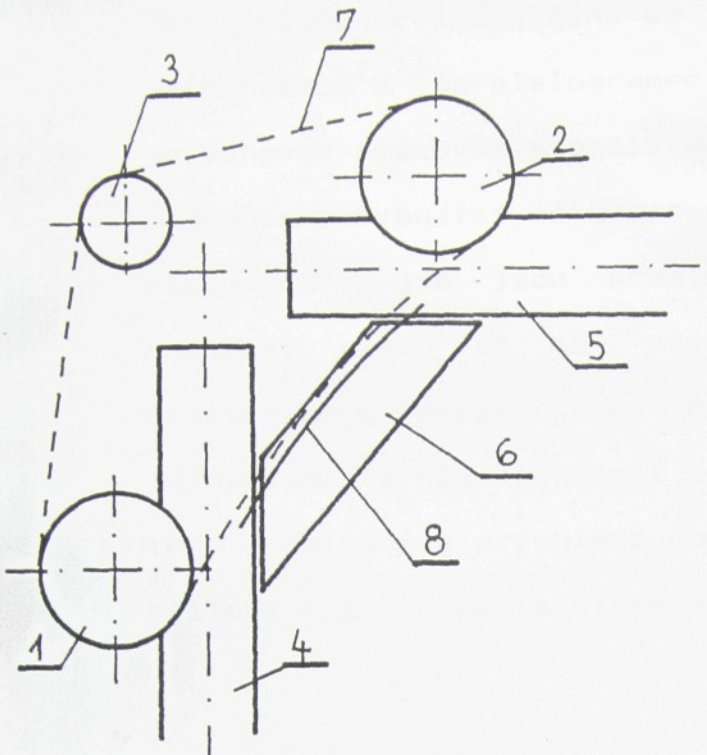
9 - čtyřkloboukový mecha-  
nismus

10 - horní čelist

11 - spodní čelist

obr. 3

Odstávkovým mechanismem je láhev přesunuta na článkový pás dopravníku, pohybujícího se konstantní rychlostí 0,202 m/s a jím je pak transportována k univerzitnímu řetězovému přesouvači firmy SHEPPE, TA 3000, který je schematicky znázorněn na obrázku 4 (viz následující strana).



- 1 - hnací řetězové kolo
- 2 - hnané řetězové kolo
- 3 - napínací řetězové kolo
- 4 - primární dopravník
- 5 - sekundární dopravník
- 6 - přechodový plech
- 7 - řetěz s lopatkami
- 8 - ocelová oblouková kolejnička

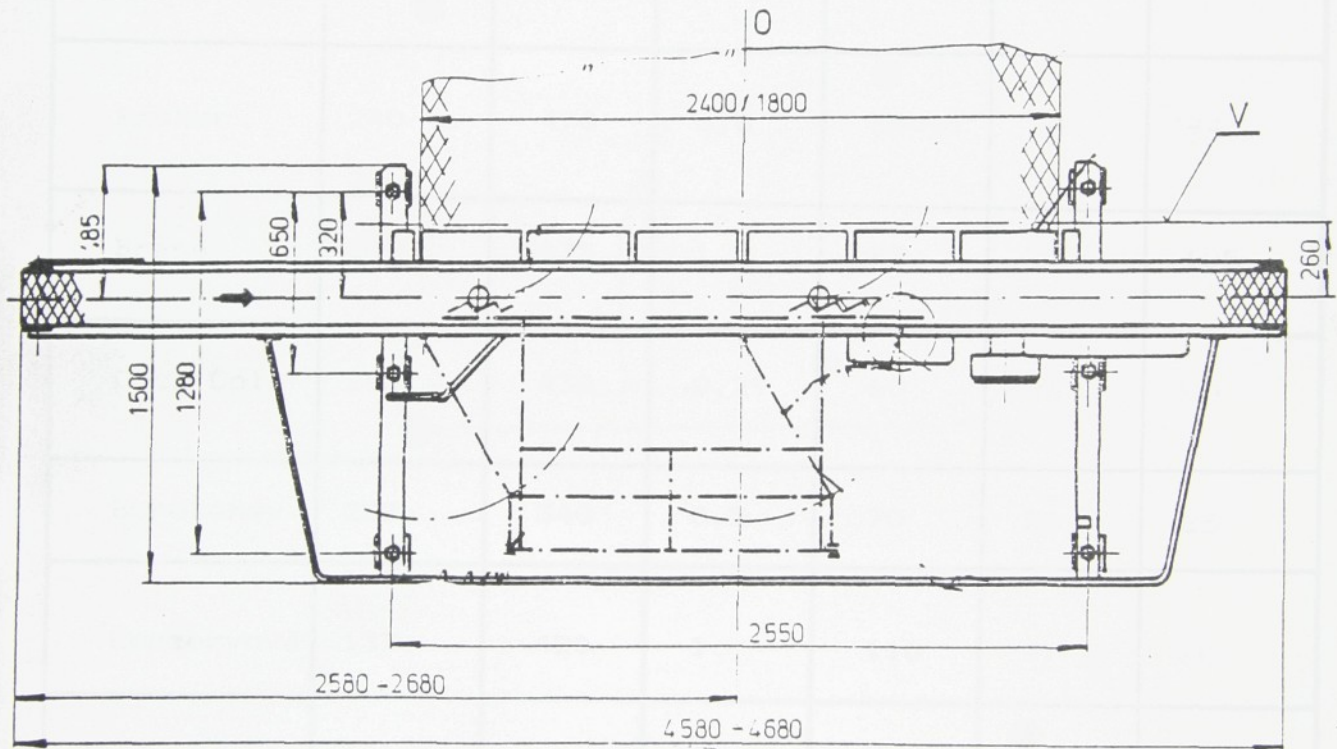
obr. 4

Jedná se o univerzální mechanismus pro nepřetržitou přepravu skleněných obalů z dopravníku (4) na dopravník zasouvače (5). Mechanismus pracuje s konstantní rychlostí shodnou s rychlosí dopravníku 1. Cyklus začíná v okamžiku, kdy se mezi dvě sousední láhev, posunující se v přibližně vyrovnané řadě ne dopravníku 1, vsune lopatka přesouvače. Výrobek je zachycen lopatkou a nastává fáze tzv. nuceného přesouvání, která končí na dopravníku 2. Láhev jsou přitom přesouvány po dráze, která je dána tvarem ocelové obloukové kolejničky, jež vede řetěz s lopatkami. Lopatky jsou otvořně uchyceny na nosném řetězu a jsou nastaveny tak, aby odpovídaly rozestupu obalů na dopravníku tvarovacího stroje.

Na dopravníku zasouvače se láhev opět pohybuje konstantní rychlosí až k vlastnímu zasouvači. V našem případě se jedná o typ ZD-120-240. Poslední číslo v typovém označení určuje, pro jakou šířku (zde v cm) chladicí pec je zasouvač určen. Na obrázku č.5 vidíme v půdorysu schematicky znázorněny

ZD-120-240. Principiálně se jedná o klasický čtyřklobový mechanismus s paralelogramem, počet cyklů činí 5 - 15/min., je schopen pracovat s obaly o průměru 30 - 110mm.

Láhve pohybující se na dopravníku jsou zachyceny hrablem zasouvače a jím jsou přemisťovány s osy dopravníku přes náběhový plech až na páš chladící peci přibližně po čtvrtkruhové dráze, dané stávajícím konstrukčním řešením mechanismu. Z něj vycházejí i hodnoty kinematických veličin, tedy rychlosti a zrychlení pohybu láhve při přesouvání (viz. přílohy č. 2.1 - 2.3 a disketa s programem).



obr. 5

2.2. Charakteristika výrobků vyráběných na automatech AL 118

Charakteristika výrobků

V tabulce č.2 je uveden přehled lahví, který charakterizuje výrobní pásmo stroje AL 118.

Tab. 2

Název	celk. výška (mm)	hmot- nost (g)	objem (l)	prům. těla (mm)	prům. ústí (mm)	výška těži. (mm)
Apolina- ris 340	202	340	0,2	59	25	72
Becher	240	470	0,5	54x91	28	94
Brandy	300	675	1	88	25	105
Coca Cola	245	430	0,29	60	25	90
Euroláhev	228	340	0,5	70	26	85
Konzervová	137	420	1	110	97	60
Lékovka 10	117	105	0,1	47	25	48

### 3. TEORETICKÝ ROZBOŘ VELIČIN OVLIVŇUJÍCÍCH STABILITU LÁHVÍ.

#### MODELOVÉ SITUACE

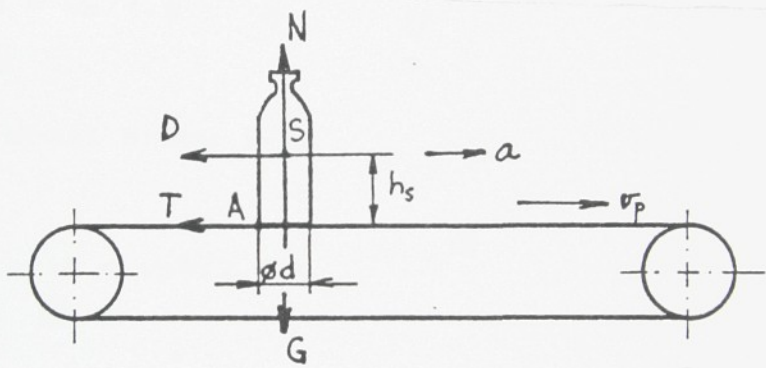
Stabilita láhví v čase je závislá na:

##### 3.1. Přímočarý rovnoměrný pohyb láhvě na pásu

$v_p = v_s = 0$

V tomto případě (vpažně konst.) na láhev působí prakticky pouze reakce pásu  $N$ . Její stabilitu mohou ovlivnit pouze nerovnosti na dráze dopravníku (např. vystupující články), případně nečistoty na pásu.

##### 3.2. Rovnoměrně zrychlený (zjemalený) pohyb láhvě – sří položení na pohybující se pásu



obr. 6

Rychlosť láhvě ve směru pohýbu pásu je nulová nebo menší než rychlosť pásu ( $v_s < v_p$ ). Je zrychlována zrychlením  $a$ , které určíme ze silové rovnováhy.

$$\rightarrow D - T = 0 \quad \text{pravda}$$

$$m_s a_s = T - m_s g \quad \text{pravda}$$

$$a = g \cdot f \quad (1)$$

Podmíinku stability určíme z momentové rovnováhy k bodu A.

$$\text{A} \quad D_{\text{A}} \cdot h_{\text{S}} - 1/2 \cdot G \cdot d = 0$$

$$m \cdot a \cdot h_{\text{S}} = 1/2 \cdot m \cdot g \cdot d \quad \text{dosazením vztahu (1) a úpravou}$$

$$f = d/2 \cdot h_{\text{S}} \quad (2)$$

Rychlosti pásu vp dosáhne láhev v určitém časovém intervalu a na odpovídající dráze. Hodnotu času t vypočteme

$$t = v_p/a = v_p/f \cdot g \quad (3)$$

Za tuč dobu urazí dráhu l

$$l = 1/2 \cdot a \cdot t^2 = v_p^2 / 2 \cdot f \cdot g \quad (4)$$

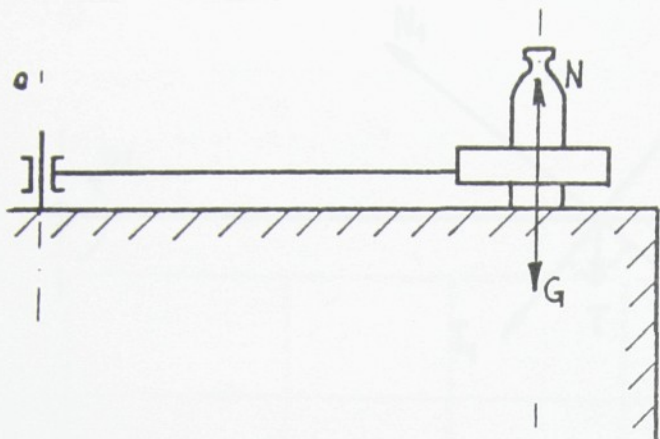
Mezi veličinami t, l a f platí nepřímá úměrnost, což znamená, že hodnoty času i dráhy klesají s rostoucím součinitelem smykového tření.

### 3.3. Stabilita láhve při nuceném pohybu po kruhové dráze

Tento pohyb vykonává láhev při přesouvání z pásu dopravníku na pás zasouvače a z něj pak dále do chladicí peci, přičemž v prvním případě je pohyb realizován přesouvačem TA 3000, v druhém případě zasouvačem ZO-120-240. Rozbor je proveden obecně pro oba případy a

vychází ze zjednodušeného modelu znázorněného na obrázku

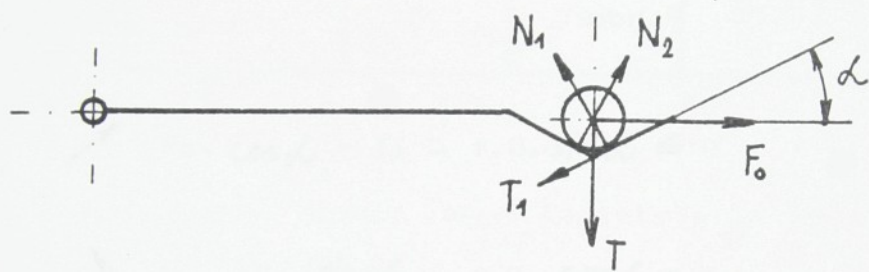
8. Základní síly vložené do lopatky přesouvače



$$T = f \cdot m \cdot g \quad (5)$$

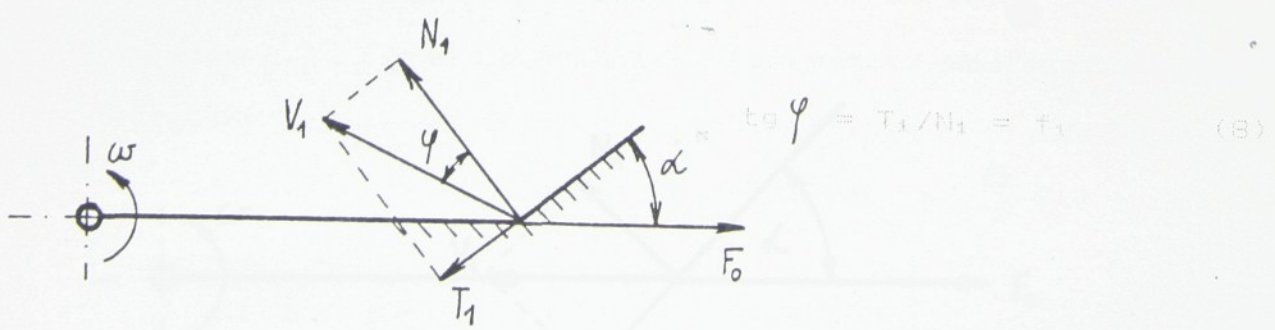
$$T_1 = f_{t_1} \cdot N_1 \quad (6)$$

$$F_o = m \cdot R \cdot \omega^2 \quad (7)$$



obr. 7

Kde  $f$  je součinitel smykového tření pro dno lávky a  $f_{t_1}$  je součinitel smykového tření pro stěnu lávky a lopatku přesouvače (hrablo zasouvací).

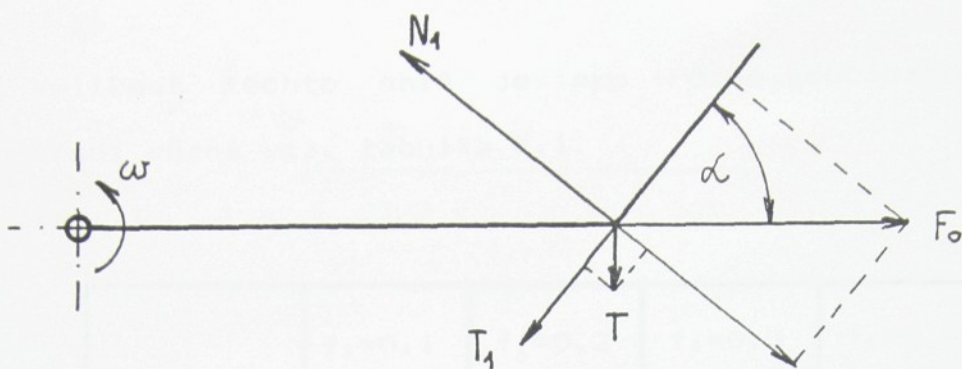


$$\tan \varphi = T_1 / N_1 = f_{t_1} \quad (8)$$

obr. 8

Podmínka rovnováhy za příznak lodi, že  $N_0 = 0$ ,  $\omega \rightarrow \omega_{KRIT}$ .

stanovíme dle obrázku č. 9 ze dvou složkových rovnic.



obr. 9

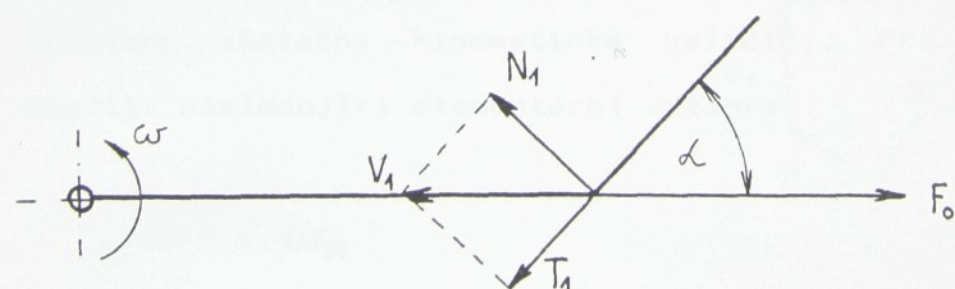
$$\nearrow F_0 \cdot \cos\alpha - T_1 - f_s G \cdot \sin\alpha \leq 0$$

$$\searrow N_1 - F_0 \cdot \sin\alpha - f_s G \cdot \cos\alpha = 0$$

Po dosazení rovnic (5), (6), (7) a matematické úpravě dostáváme pro výpočet úhlové rychlosti přesouvání vztah

$$\omega \leq \sqrt{\frac{g \cdot f_s R_s (\sin\alpha + f_s \cdot \cos\alpha)}{(\cos\alpha - f_s \cdot \sin\alpha)}} \quad (8)$$

Uvažujeme-li dále  $N_0 = 0$ , pak je z obrázku č. 10 na základě vztahů (5), (6), (7), (8)



obr. 10

$$\alpha_{opt.} = \arccot \alpha_f \quad (9)$$

$$f_1 = \cot \alpha \quad (10)$$

Velikost těchto úhlů je pro různé soudinitle smykového tření různá viz. tabulka č. 1.

Tab. 1

	$f_1=0,1$	$f_1=0,2$	$f_1=0,3$	$f_1=0,4$	$f_1=0,5$
$\alpha_{opt.}$	84°	78°	73°	68°	63°

### 3.4. Obecný pohyb láhev (existuje-li relativní pohyb láhev)

Unašeď (v našem případě přesouvač nebo zasouvač) koná unášivý rotační pohyb úhlovou rychlosť  $\omega_{21} = \text{konst.}$ ,  $E_{21} = 0$ .

Uvažujme dál, že existuje relativní pohyb láhev vůči unašeči. Na láhev při obecném pohybu působí výsledná reakce  $V_1$  (stěna láhev \* lopatka nebo hrablo), odstředivá síla  $F_0 = m \cdot r \cdot \omega^2$  třecí síla  $T = m \cdot g \cdot f$  (dno láhev \* podložka) a Coriolisova síla  $F_c = m \cdot \omega \cdot v_{az} \cdot \omega_{21}$ .

Úloha tohoto typu vede k sestavení diferenciální rovnice. Na obrázku č. 11 jsou na principu kinematiky současných pohybů vyřešeny základní kinematické veličiny. Při řešení byly použity následující elementární vztahy:

$$v_{az} = r \cdot \omega_{21} \quad (11)$$

$$v_{az} = dx/dt \quad (12)$$

$$\dot{\alpha} \cdot \dot{x} = d\alpha \cdot v/dt$$

(13)

z toho

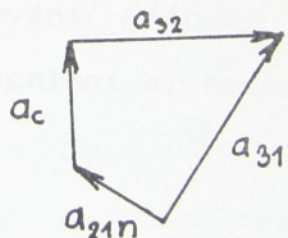
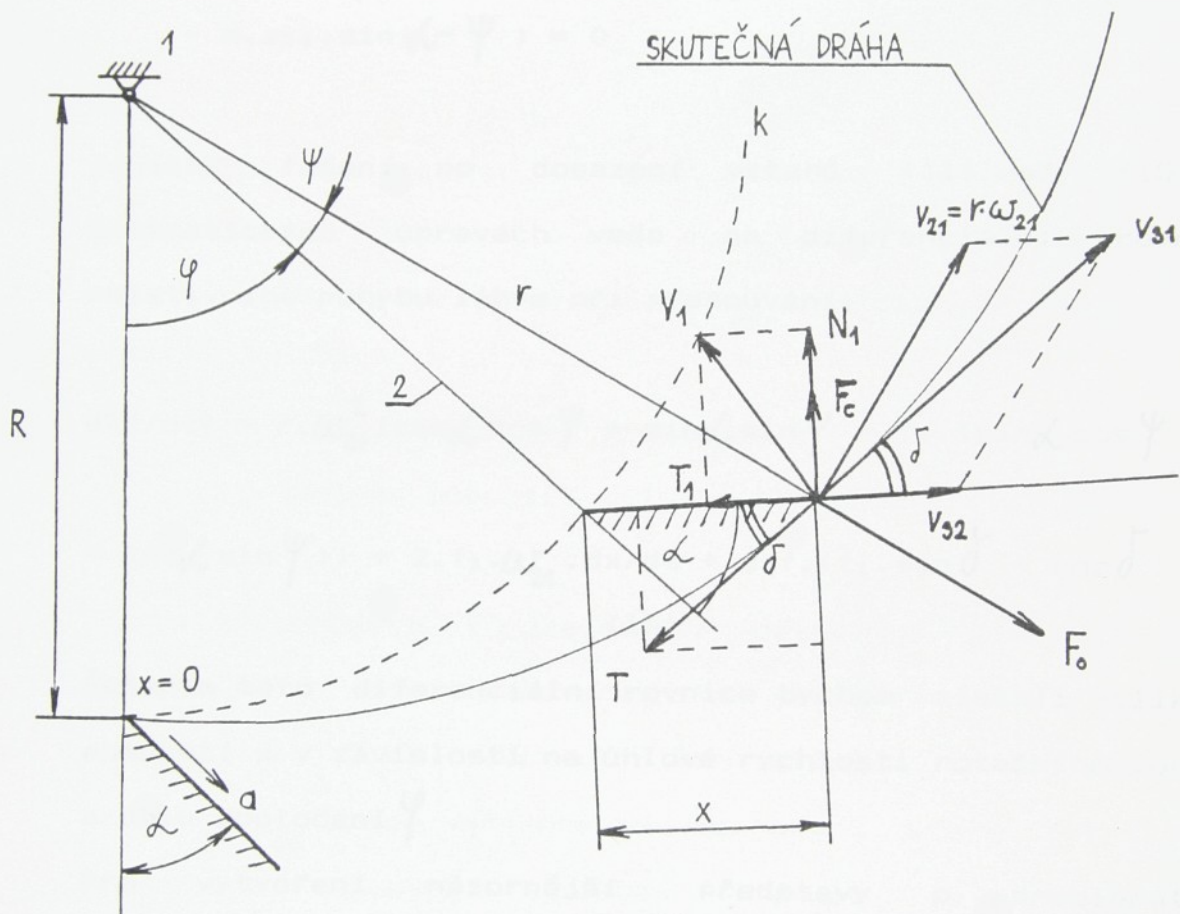
$$\cot \Psi = R/x \cdot \sin \alpha + \cot \alpha \quad z \text{ toho}$$

$$\tan \Psi = -R \cdot \cot \alpha \cdot \sin \alpha + \tan \alpha$$

$$\Psi = \arccot \left( R/x \cdot \sin \alpha + \cot \alpha \right) \quad (14)$$

$$r = \sqrt{x^2 + R^2 + 2x \cdot R \cdot \cos \alpha}$$

(15)



Dle obrázku č. 11 sestavíme složkové rovnice ve vodorovném a svislém směru,

$$\rightarrow m \cdot a_{x2} + F_0 \cdot \cos(\alpha - \varphi) + m \cdot a_{z1} \cdot \cos \delta = T_x = m \cdot a_{z1} \cdot \cos(\alpha - \varphi) \quad (11)$$

$$- T \cdot \cos \delta = 0$$

$$\downarrow F_0 \cdot \sin(\alpha - \varphi) + T \cdot \sin \delta = m \cdot a_{z1} \cdot \sin \delta = m \cdot a_c = N_x$$

$$- m \cdot a_{z1} \cdot \sin(\alpha - \varphi) = 0$$

jejichž řešení po dosazení vztahů (11) až (15) a matematických úpravách vede na diferenciální rovnici relativního pohybu lávky při přesouvání.

$$\begin{aligned} d^2x/dt^2 &= r \cdot \omega_{21}^2 (\cos \alpha \cos \varphi + \sin \alpha \sin \varphi - f_1 \cdot (\sin \alpha \cos \varphi - \\ &- \cos \alpha \sin \varphi)) + 2 \cdot f_1 \cdot \omega_{21} \cdot dx/dt + g \cdot f_1 \cdot (\sin \delta + \cos \delta) = 0 \end{aligned} \quad (16)$$

Řešením této diferenciální rovnice bychom získali velikost posunu  $x$  v závislosti na úhlové rychlosti rotačního pohybu a úhlu pootočení  $\varphi$ .

Pro vytvoření názornější představy o problematice relativního pohybu při přesouvání lávky použijeme přibližné řešení pro počáteční zrychlení a, respektive pro malou odlehlosť  $x$ :

$$a \approx R \cdot \omega^2 \cdot (\cos \alpha - f_1 \cdot \sin \alpha) - g \cdot f_1 \cdot (\sin \alpha + f_1 \cdot \cos \alpha) \quad (17)$$

Okamžitá rychlosť relativního pohybu lávky je dána

rovnici (12). Zrychlení v odlehlosti  $x$  (t.j. v čase  $t$ ) je

$$a \approx d^2x/dt^2 = d(v^2)/2 \cdot dx \quad (18)$$

Přibližná velikost zrychlení relativního pohybu láhve (17) je dána pro známý poloměr přesouvání, úhlovou rychlosť, úhel a součinitele smykového tření. Z rovnice (18) vyjádříme velikost posunutí láhve ve směru relativního pohybu.

$$x \approx a \cdot t^2/2 \quad (19)$$

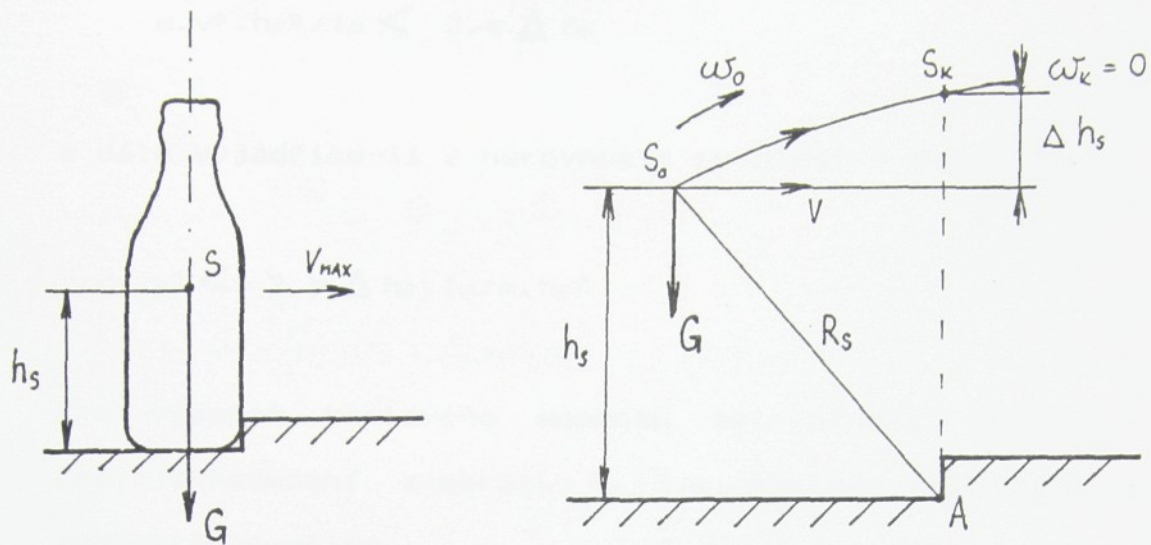
Dosadíme-li do vztahu (19) čas potřebný k přesunutí láhve danou úhlovou rychlosťí o úhel podtočení  $\varphi$ , můžeme určit hodnotu dráhy relativního pohybu v daném časovém úseku.

### 3.5. Stabilita láhve při překonávání překážky ("schodu"), vliv polohy působící sily na přesouvací rychlosť

Při přechodech z odstávkové desky na dopravník 1, z dopravníku na desku zasouvače, z ní na dopravník 2 a konečně z dopravníku 2 na náběhový plech a potom na pás chladící peci, musí láhev překonávat "schody", které - byť jsou nepatrných rozměrů - mohou ovlivnit její stabilitu. Teoretickým rozborom tohoto problému zjišťujeme maximální rychlosť, kterou se láhev může pohybovat, aniž by při nárazu na zarážku (resp. při pohybu ze "schodu" dolů) došlo ke ztrátě stability. Na obrázku č.12 je znázorněna výchozí situace. Láhev pohybující se určitou rychlosťí narazí na zarážku. Po nárazu se začne naklápět úhlovou rychlosťí  $\omega_0$ . Z rovnosti momentů hybnosti před a po nárazu je

$$m \cdot v \cdot h_s = I_a \cdot \omega_0$$

(20)



obr. 12

matematickou úpravou (20) pak dostáváme rovnici pro výpočet počáteční úhlové rychlosti naklápení.

$$\omega_0 = m \cdot v \cdot h_s / I_a$$

(21)

Ze zákona o změně kinetické energie ze podmínky, že nesmí dojít k překlopení je

$$I_a \cdot \omega_k^2 / 2 = I_a \cdot \omega_0^2 / 2 < m \cdot g \cdot \Delta h_s$$

a po úpravě, předpokládáme-li, že  $\omega_k = 0$

$$\omega_0^2 < 2 \cdot m \cdot g \cdot \Delta h_s / I_a$$

(22)

Porovnáním vztahů (21) a (22) je

$$(m \cdot v \cdot h_s / I_a)^2 < 2 \cdot m \cdot g \cdot \Delta h_s / I_a$$

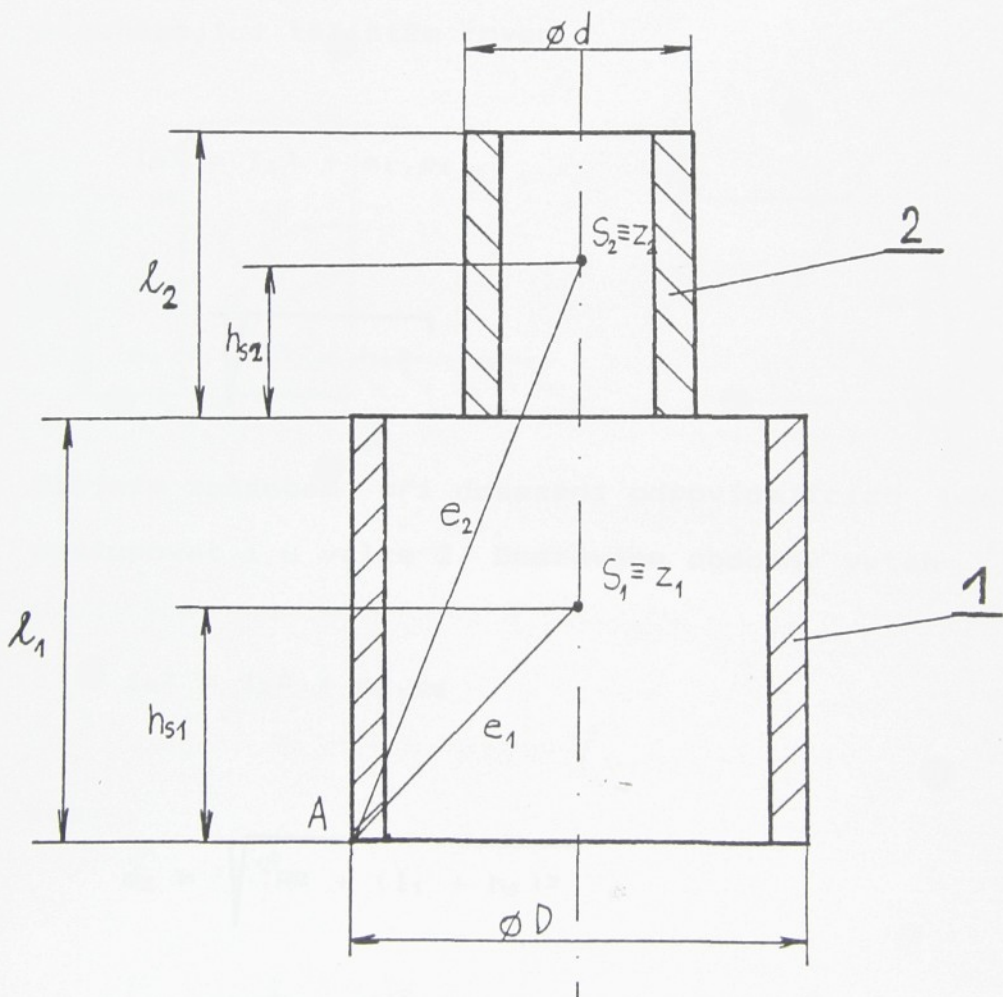
po úpravě:

$$m_s \cdot v^2 \cdot h_s^2 / I_a < 2 \cdot g \cdot \Delta h_s$$

a dále vyjádříme-li z nerovnosti rychlosť v dostaváme

$$v^2 < 2 \cdot g \cdot \Delta h_s \cdot I_a / m_s \cdot h_s^2 \quad (23)$$

Pro výpočet hmotového momentu setrvačnosti láhve vyjdeme pro zjednodušení z obrázku č. 13 a následujících vztahů pro tenkostěnný válec.



obr. 13

Moment setrvačnosti k ose z

$$I_{z z} = I_{z x} + I_{z y} \quad (24)$$

momenty setrvačnosti k rovinám

$$I_{zx} = m_1 \cdot l^2 / 12 \quad (25)$$

$$I_{zy} = m_1 \cdot R^2 / 2 \quad (26)$$

potom

$$I_z = m_1 \cdot l^2 / 12 + m_1 \cdot R^2 / 2$$

Podle Steinerovy věty pak je moment setrvačnosti  $I_A$  k ose procházející bodem A, která je rovnoběžná s osou z procházející těžištěm roven

$$I_A^1 = I_z + m_1 \cdot c_1 \quad (27)$$

kde

$$c_1 = \sqrt{R^2 + h_s^2} \quad (28)$$

Stejným způsobem při dosazení odpovídajících hodnot budeme postupovat i u válce 2. Dostáváme obdobný vztah

$$I_A^2 = I_z^2 + m_2 \cdot c_2 \quad (29)$$

kde

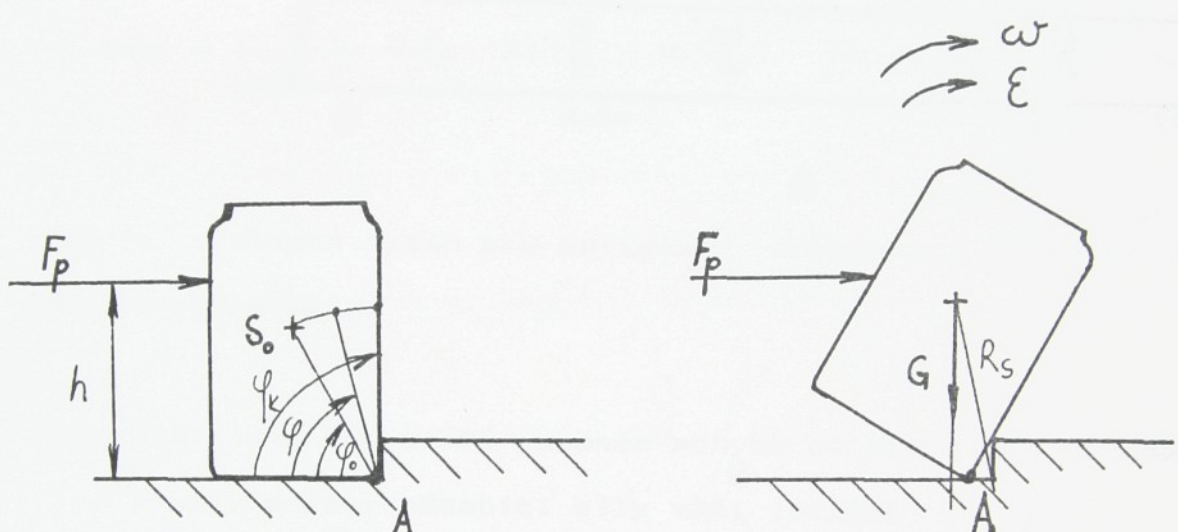
$$c_2 = \sqrt{R^2 + (l_1 + h_s)^2} \quad (30)$$

Pro výsledný hmotový moment setrvačnosti ze vztahů (27) a (29) pak platí

$$I_A = I_A^1 + I_A^2 \quad (31)$$

Dosazením do nerovnice (23) pak dostáváme výsledný vztah pro maximální rychlosť  $v$ , ktorou sa môže pohybovať láhev pri nárazu na prekážku.

Prozatím jeme do výpočtu nezahrnuli priesouvací súlu  $F_p$  (viz. lopatka - priesuvadlo, hrablo - zasuvadlo), ktorá pri priesuvaní pôsobí v určitej výške na láhev. Jakým zpôsobom ovlivní tato výška maximálnu priesuvací rychlosť pri prekonávaní prekážky, zistime nasledujicim výpočtom. Pri sestavovaní rovnic vyjdeme z obrázku č. 14.



obr. 13

Momentová rovnica k bodu A je:

$$\text{A} \cdot I_A \cdot \dot{\varphi} = F_p \cdot h - G \cdot R_g \cdot \cos \varphi$$

$$\dot{\varphi} = f(\varphi)$$

$$\ddot{\varphi} = d(\dot{\varphi}^2)/d\varphi = (F_p \cdot h - G \cdot R_g \cdot \cos \varphi)/I_A \quad (32)$$

$$\int_{\omega_0^2}^{\omega_k^2} d(\dot{\varphi}^2) = 2 \int_{\varphi_0}^{\varphi_k} (F_p \cdot h - G \cdot R_g \cdot \cos \varphi) d\varphi / I_A$$

$$[\omega]_{\omega_0^2}^{\omega_k^2} = 2 \left[ F_p \cdot h \cdot \varphi - G \cdot R_s \cdot \sin \varphi \right] / I_a$$

$$\omega_k^2 - \omega_0^2 = 2 \left[ F_p \cdot h \cdot (\varphi_k - \varphi_0) - G \cdot R_s \cdot (\sin \varphi_k - \sin \varphi_0) \right] / I_a$$

a předpokládáme-li, že  $\omega_k = 0$ , pak

$$\omega_0 = \sqrt{2 \cdot G \cdot R_s \cdot (\sin \varphi_k - \sin \varphi_0) - F_p \cdot h \cdot (\varphi_k - \varphi_0) / I_a} \quad (33)$$

po dosazení do vztahu (20) dostaneme

$$V_{max} = I_a \cdot \sqrt{2 \cdot G \cdot R_s \cdot (\sin \varphi_k - \sin \varphi_0) - F_p \cdot h \cdot (\varphi_k - \varphi_0) / I_a} \quad (34)$$

což je výsledný vztah pro maximální přesouvací rychlosť za daných podmínek.

### 3.6. Stabilita lávky při nuceném pohybu po nakloněné rovině - vliv polohy působící síly vůči těžišti

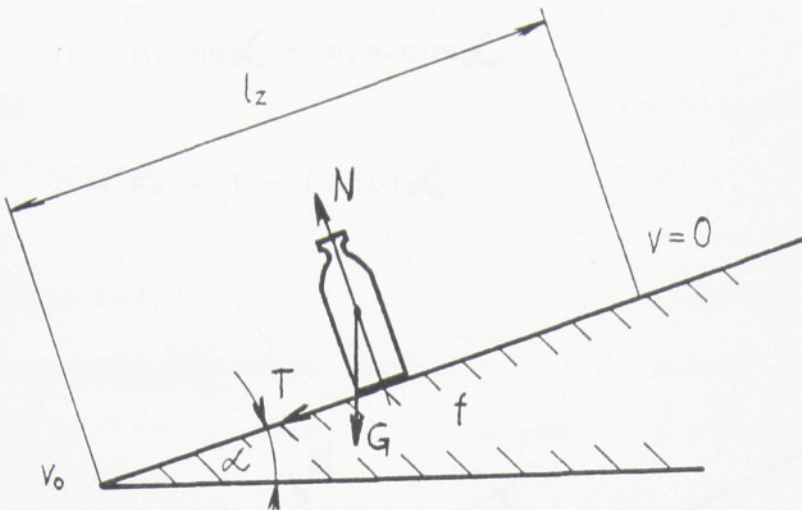
Při přechodu lávky z běžícího pásu dopravníku na pevnou desku přesouvače (náběhový plech chladicí peci), by se bez působení přesouvací síly  $F_p$  lávka zastavila.

Dle obrázku č. 14 sestavíme rovnice rovnováhy

$$\swarrow m \cdot a = -G \cdot \sin \alpha - T \quad \text{a}$$

$$\nwarrow O = N - G \cdot \cos \alpha$$

$$T = f \cdot N$$



obr. 14

Úpravami dostáváme pro "zlepšení" a vztah

$$a = -g(\sin \alpha + f_r \cos \alpha) = d(v)^2 / 2 \cdot dx \quad (35)$$

$$\int_{v_0^2}^{v^2} d(v)^2 = -2 \cdot g(\sin \alpha + f_r \cos \alpha) \int_0^x dx$$

$$v^2 - v_0^2 = -2 \cdot g(\sin \alpha + f_r \cos \alpha) \cdot x$$

a dosadíme-li  $v = 0$  a  $x = l_z$ , dostáváme vztah pro dráhu  $l_z$ , jež urazí láhev do zastavení při pohybu po nakloněné rovině.

$$l_z = v_0^2 / 2 \cdot g(\sin \alpha + f_r \cos \alpha) \quad (36)$$

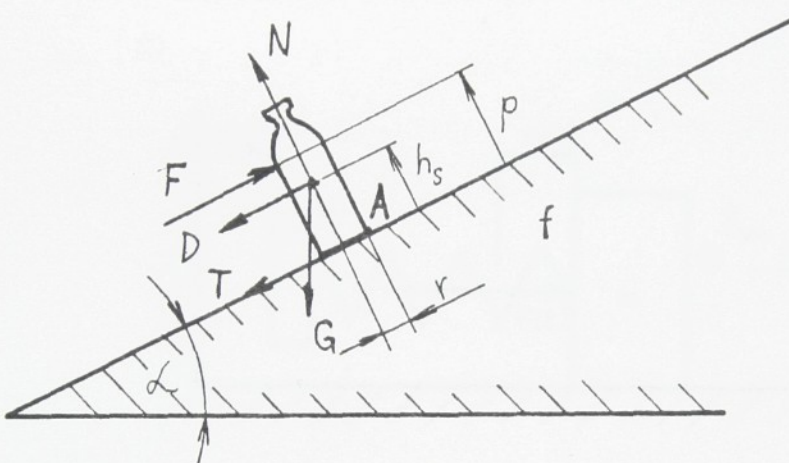
Působí-li na láhev přesouvací síla  $F_F$ , sestavíme dle obrázku č. 15 následující složkové rovnice:

$$\overrightarrow{F_F} = D = T + G \cdot \sin \alpha = 0 \text{ může být}$$

$$\nearrow N = G \cdot \cos \alpha = 0$$

$$N = G \cdot \cos \alpha = m \cdot g \cdot \cos \alpha$$

$$D = F_D + T = G \cdot \sin \alpha \quad (37)$$



obr. 15

Momentová rovnice k bodu A, zvolíme-li  $\rho = h_s$  a zároveň pokud předpokládáme, že normálová reakce  $N$  působí v okamžiku "počátku naklápení" pouze v bodě A, zní

$$\curvearrowleft A: F_D \cdot d - D \cdot h_s - h_s \cdot G \cdot \sin \alpha - r \cdot G \cdot \cos \alpha \leq 0$$

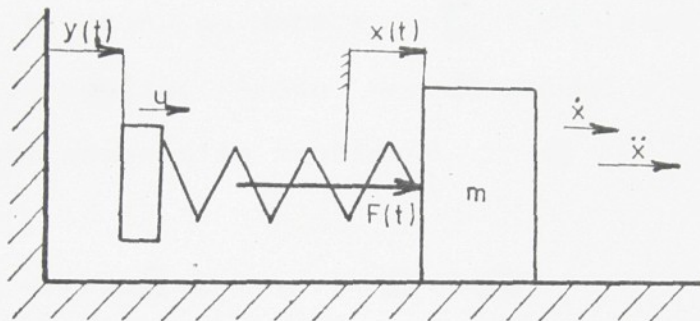
Po dosazení vztahu (37) a dalších matematických úpravách dostáváme

$$F \leq (r + h_s \cdot f) \cdot G \cdot \cos \alpha / (p - h_s) \quad (38)$$

což je výsledný vztah pro maximální přesouvací sílu  $F_D$ .

### 3.7. Vzájemné působení lopatky přesouvače a láhve – existenci pružné vazby

Podobně jako kdekoli jinde v technice, i našem případě nepracujeme s tělesy dokonale tuhými, ale s tělesy, mezi nimiž existuje jistá pružná vazba. Počáteční fázi přesouvání, tj. okamžik, kdy je láhev zachycena lopatkou přesouvače (brabilem zasouvače), si proto můžeme představit jako případ zobrazený na následujícím obrázku.



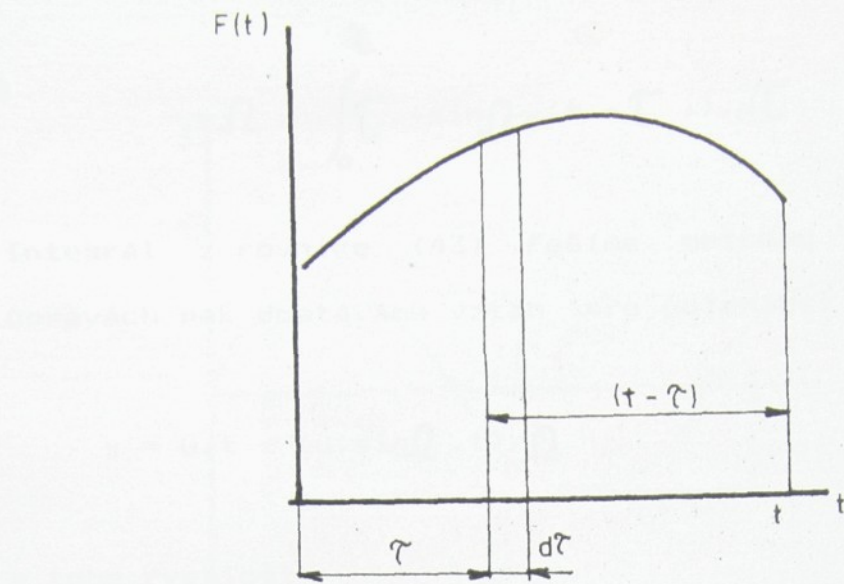
obr. 16

Předpokládejme, že budící síla  $F(t)$  působící na pružně uložené těleso bez tlumení (láhev) má zcela obecnou závislost např. podle obrázku č.17. V případě kinematického buzení  $y = y(t)$  je  $F(t) = k_y y(t)$ . Řešení pohybu hmotného bodu provedeme dle následující úvahy. Součin

$$F(t), dt = dl \quad (39)$$

je diferenciál impulsu. Působí-li takový impuls v čase  $t = \tau$  na bod o hmotnosti  $m$  s  $v_0$  volnosti, nebude tento bod počáteční rychlosť  $dv$ , pro kterou platí dle zákona o zachování hybnosti a dle vztahu (36)

$$m, dv = F(\tau), d\tau$$



obr. 17

Soustava se rozkmitá a pohyb způsobený tímto impulsem na konci doby  $t$  (tzn. po době  $t - \tau$ ) od okamžiku působení impulu je za použití výrazu pro odlehlosť x hmotného bodu, na něž působí pouze síla pružiny F

$$x(t) = x_0 \cdot \cos \Omega \cdot t + v_0 \cdot \sin \Omega \cdot t / \Omega \quad (40)$$

a za předpokladu, že  $x_0 = 0$ ,  $v_0 \approx dv$ ,  $x \approx dx(t)$

$$dx(t) = dv \cdot \sin \Omega \cdot (t - \tau) / \Omega = F(\tau) \cdot (\sin \Omega \cdot (t - \tau)) \cdot d\tau / m \cdot \Omega \quad (41)$$

Působil-li silový účinek spojitě v intervalu  $0 \rightarrow t$ , je výchozíka za předpokladu, že na počátku byla soustava v klidu, dáná závislostí

$$x(t) = (m \cdot \Omega)^{-1} \int_0^t F(\tau) \cdot (\sin \Omega \cdot (t - \tau)) \cdot d\tau \quad (42)$$

Po úpravě, je-li dáno  $y(t) = u \cdot t$ ,  $y = u$ ,  $y = 0$ , je

$$x(t) = (m \cdot \Omega)^{-1} \cdot k \cdot \int_0^t u \cdot (\sin \Omega \cdot (t - \tau)) \cdot d\tau =$$

$$= \Omega \cdot u \cdot \int_0^t \tau \cdot (\sin \Omega \cdot (t - \tau)) \cdot d\tau \quad (43)$$

Integrál z rovnice (43) řešíme metodou "per partes", po úpravách pak dostáváme vztah pro odlehlosť

$$x = u \cdot t - (u \cdot \sin \Omega \cdot t) / \Omega \quad (44)$$

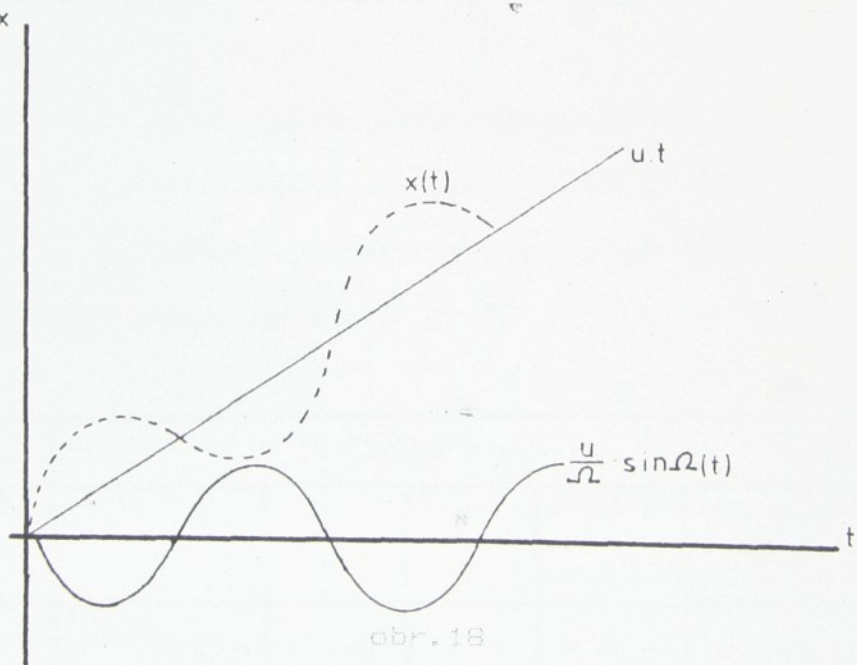
z toho rychlosť

$$\dot{x} = u \cdot (1 - \cos \Omega \cdot t) \quad (45)$$

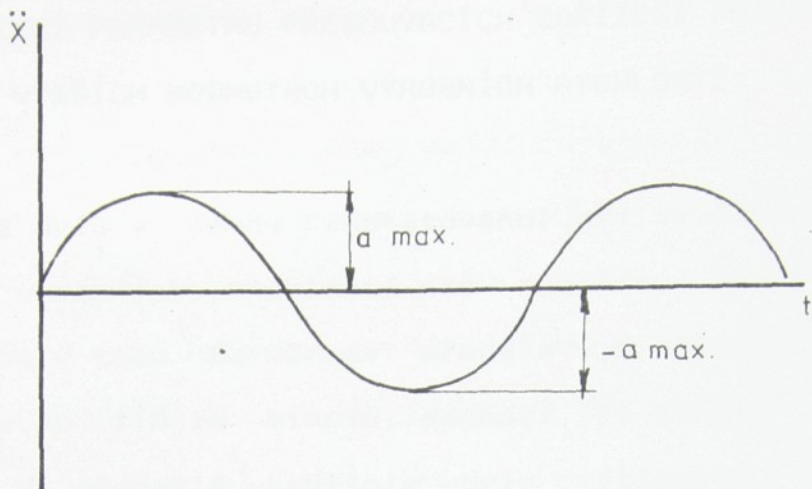
a zrychlení

$$\ddot{x} = u \cdot \Omega \cdot \sin \Omega \cdot t \quad (46)$$

Na následujícím obrázku je graficky zachycena závislosť vyjádřená rovnici (44).



Na obrázku č. 19 je zaznamenána závislosť vyjádřená rovnici (46), tzn. průběh zrychlení, které bude působit na láhev o hmotnosti m.



obr. 19

Z výše uvedeného obrázku a rovnice je zřejmé, že

$$a_{\max} = u \cdot \Omega = u \sqrt{k/m} \quad (47)$$

Maximální zrychlení je tedy dán rychlosťí přesouvací čelisťi  $u$ , hmotou lžávky  $m$  a tuhostí mezi lžávkou a přesouvací čelistí  $k$ .

#### 4. ZHODNOCENÍ PARAMETRU PŘESOUVACÍCH ZAŘÍZENÍ PŘI PŘEDPOKLÁDANÝCH VYŠŠÍCH HODNOTÁCH VÝROBNÍCH RYCHLOSTÍ

Jak již bylo v úvodu konstatováno, při zvyšování taktaze a tedy i výrobních rychlostí nad současnou horní hranici, která u obalu typu "Euroláhev" představuje přibližně 56 taktů stroje AL 118 za minutu, dochází ke ztrátě stability výrobků. V předešlé kapitole byly vytipovány veličiny, které v určitých úsecích technologického procesu nejvýznamněji ovlivňují plynulý chod zařízení. Pro jejich aplikaci na konkrétní přesouvací zařízení jsem využil výsledků výzkumných prací ing. Polcara /7/ a dále pozměněného programu Sklostroje Turnov.

Vyjdeme z následujícího vztahu pro rychlosť posuvného pohybu pásu a dle tohoto vztahu sestavené tabulky č. 3

$$v = t \cdot n \cdot l / 60 \quad (48)$$

kde je:  $t$  .... počet taktů jedné sekce za minutu

$n$  .... počet sekcií stroje

$l$  .... rozteč výrobků na pásu v metrech

pro Euroláhev uvažujme  $l = 0,270 \text{ m}$

Tab. 3

	t [stříhá/min]				
	6	7	8	9	10
v [m/s]	0,216	0,252	0,288	0,324	0,360

Při maximálním počtu stříhů 7 a odpovídající rychlosti pásu však činí úhlová rychlosť unašeče  $\omega_{21} = 0,733 \text{ s}^{-1}$ , čemuž

odpovídá rychlosť láhve při náběhu na pás  $v_{M1} = 0,125 \text{ m.s}^{-1}$ ,  $v_{M2} = 0,105 \text{ m.s}^{-1}$  viz. příloha 1.1 a 1.2. Jak vidíme, poměr rychlostí pásu a láhvě je velmi neprůznamivý, zvýšime-li úhlovou rychlosť unašeče na hodnotu  $\omega_{21} = 1,4 \text{ s}^{-1}$ , budou se hodnoty rychlostí láhví při náběhu na pás jak je zřejmé z příloh 1.5 a 1.6 již velmi blízit požadované velikosti  $0,252 \text{ m.s}^{-1}$ . S ohledem na zadané rozměry mechanismu DÚN - 2 je

$$\omega_{41} = \omega_{42} = \omega_{21}/2$$

Srovnáním se vztahy (1.2,8) pak zjistíme, nepřekračuje-li tato úhlová rychlosť maximální mez a není-li tak porušena podmínka stability. Stejně tak je třeba v konkrétních podmírkách ověřit, zda vyhovují vztahy (34) pro maximální přesouvací rychlosť při překonávání překážky (schodu), (38) pro maximální přesouvací sílu při nutném pohybu po nakloněné rovině a (47) pro maximální zrychlení láhve při vzajemném pružném ovládání přesouvače a láhve.

V případě zasouvače ZD-120-240 je situace poněkud odlišná. Bude-li se sekundární dopravník pohybovat rychlosťí  $0,252 \text{ m.s}^{-1}$ , úhlová rychlosť  $\omega_{21} = 0,698 \text{ s}^{-1}$  a doba jednoho cyklu stroje je  $T = 9,13 \text{ s}$ . Jak vyplývá z grafů v přílohách 2.1 a 2.2, hlavním problémem budou vysoké hodnoty zrychlení v počátečních fázích zasouvání a dále jeho strmě změny v závislosti na rychlosti dopravníku zasouvače. I v tomto případě je však nutno dle daných konkrétních podmínek ověřit platnost všech výše uvedených vytípovaných vztahů.

## 5. TECHNICKOEKONOMICKÉ ZHODNOGENÍ

V této statí je provedena stručná ekonomická rozvaha, která se s ohledem na charakter zadání zabývá pouze porovnáním současných cen skleněných obalů při stávajících, případně zvýšených hodnotách výrobních rychlostí. Abych získal alespoň základní potřebné informace, spojil jsem se postupně s odbytovými odděleními již zmínovaných největších výrobců obalového skla u nás tzn. s podniky Skloobal Němečová, Vetropack Moravia Glass Kyjov, Obal Union Nové Sedlo a Rudolfova Huť Dubí u Teplic. Jakási střední cena - bez dopravních obalů (palety, fólie, podložky), bez přirážek za podlimitní vývozní dávky, při předání prvnímu veřejnému přepravci a ve vztahu k politicko-ekonomickým poměrům v naší republice na začátku příštího roku, činí u "Euroláhve" 242 Kčs/100 ks. U klasického reprezentanta drobného obalu tzn. u lékárny s objemem 0,1 l se tato cena pohybuje kolem 120 Kčs za 100 kusů. V obou případech se jedná o skleněné obaly vyráběné na strojích AL 118, u výrobků produkovaných na strojích AL 106, které jsou v uvedených závodech zastoupeny nejčastěji, se cena liší jen nepatrně, podobně jako u strojů zahraničních firem (např. BDF v Německu a v Dubí, IS fy Emhart v Kyjově).

Jestliže se tedy v současné době vyrábí na automatech typu AL 118 při dvoukaece v průměru 150 000 dobrých výrobků za den při nepřetržitém provozu, což odpovídá 55 taktem stroje za minutu, dojdeme prostým aritmetickým úkolem k částce 363 tis.Kčs představující tržní hodnotu zboží vyprodukovanou za jeden den. U menších výrobků se dosahuje maximálních výkonů přibližně při 62 taktech za minutu, kte-

rým odpovídá 178 560 kusů čisté výroby za den, jejichž cena na trhu činí více jak 214 tis.Kčs. Každé zvýšení taktáže stroje o 5 střihů za minutu pak znamená u malých výrobků nárůst denně vyprodukované hodnoty více jak o 17 tis.Kčs, u "Euroláhve" téměř o 35 tis.Kčs. Do těchto čísel nejsou zakalkulovány případné změny stávajícího strojního vybavení.

## 5. ZÁVĚR

V této diplomové práci jsem se snažil odstranit nedostatky, které mi byly u původní verze vytýkány jak recenzentem, tak vedoucím DP a dále doplnit ty části práce, jimž jsem zůstal dlužen.

První kapitola, která obsahuje shrnutí známých parametrů a obecný popis linky na obalové sklo, je v podstatě beze změn. Druhá část zaměřená na vytípování činitelů ovlivňujících stabilitu láhví při přesouvání od jedné technologické operace k druhé je doplněna v podkapitolách 3.5 a 3.6, nová je podkap. 3.7, která se zabývá vzájemným pružným působením lopatky přesouvače a láhve. Výsledkem je vztah pro maximální přípustné zrychlení přesouvání. V třetí kapitole jsou shrnuty výsledky z předešlé kapitoly s upozorněním na některá specifika jednotlivých přesouvacích zařízení. Co se týče technickoekonomického hodnocení, použil jsem v něm poznatků pracovníků našich největších podniků zabývajících se výrobou obalového skla.

Závěrem bych chtěl poděkovat ing. Janu Cibulkovi, CSc., ing. Zdeňkovi Bradskému, CSc., ing. Oldřichovi Mikulemu a ing. Luďkovi Zdražilovi za cenné připomínky a pochopení při realizaci této diplomové práce.

## SEZNAM PŘÍLOH

### 1. Mechanismus odstávky DJN - 2

Grafy: 1.1 Rychlosť a zrychlení bodu  $M_1$  pri  $\omega_{21} = 0,733/\text{s}$

1.2 Rychlosť a zrychlení bodu  $M_2$  pri  $\omega_{21} = 0,733/\text{s}$

1.3 Rychlosť  $v_x$  a zrychlení  $a_x$  bodu  $M_1$  pri  $\omega_{21} = 1,4/\text{s}$

1.4 Rychlosť  $v_x$  a zrychlení  $a_x$  bodu  $M_2$  pri  $\omega_{21} = 1,4/\text{s}$

1.5 Rychlosť a zrychlení bodu  $M_1$  pri  $\omega_{21} = 1,4/\text{s}$

1.6 Rychlosť a zrychlení bodu  $M_2$  pri  $\omega_{21} = 1,4/\text{s}$

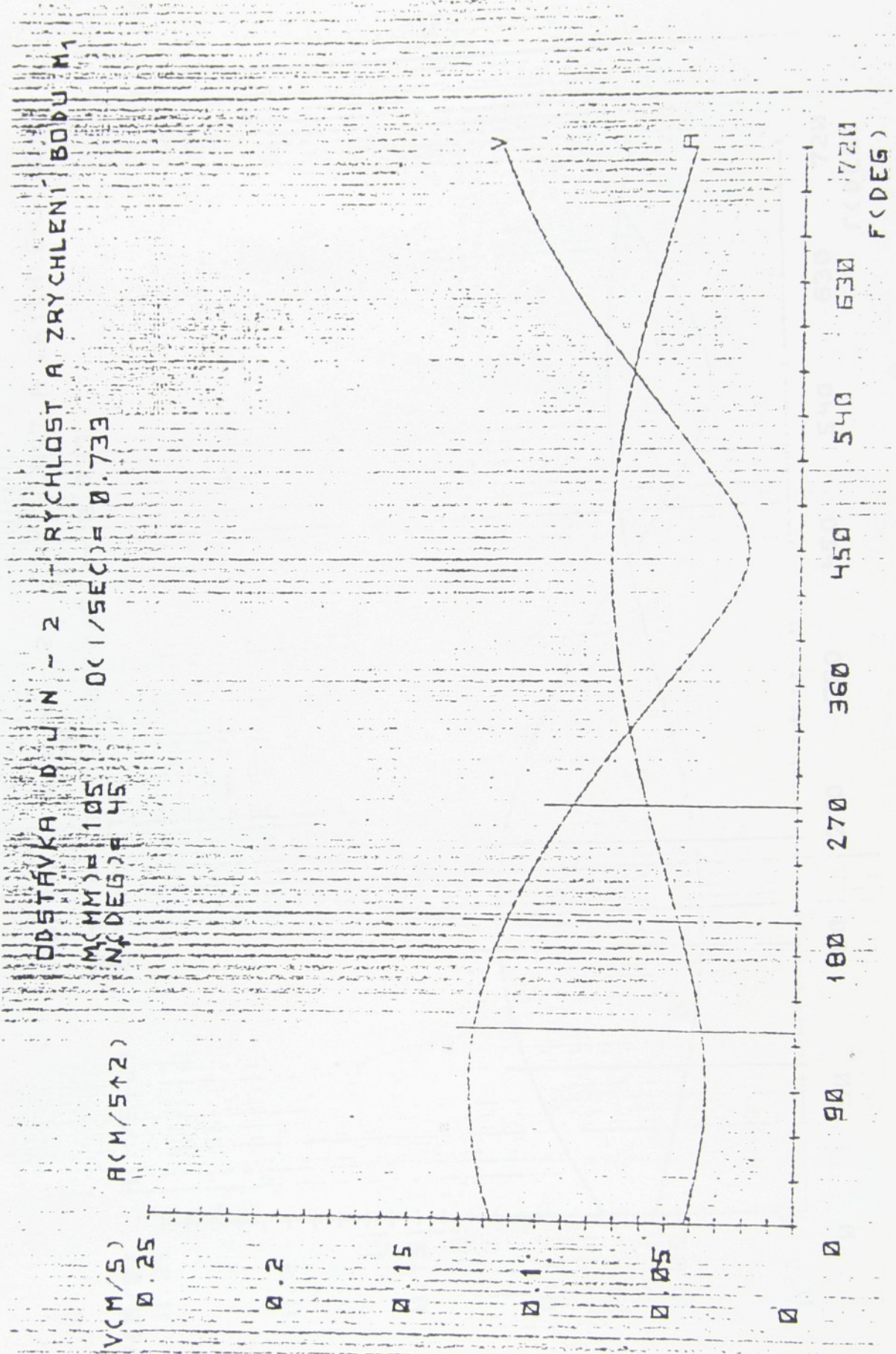
### 2. Mechanismus zasouvače ZD-120-240

Grafy: 2.1 Zrychlení  $a_t$  v závislosti na  $\varphi$  pri  $\omega_{21} = 0,552/\text{s}$

2.2 Rychlosť  $v_x$  v závislosti na  $\varphi$  pri  $\omega_{21} = 0,552/\text{s}$

2.3 Závislosť  $\psi$  na  $\varphi$

Príloha 1.1



ODSTÁVKAMI D, J, N - 2, - RYCHLOSŤ A ZRYCHLENÍ BODU  $M_2$   
 $M_2(MM^{-1}) = 1.9$        $\alpha(1/SEC) = 0.739$   
 $N_2(DEG) = 1.32$

$V(M/S)$

11. 25

$A(M/E^{-2})$

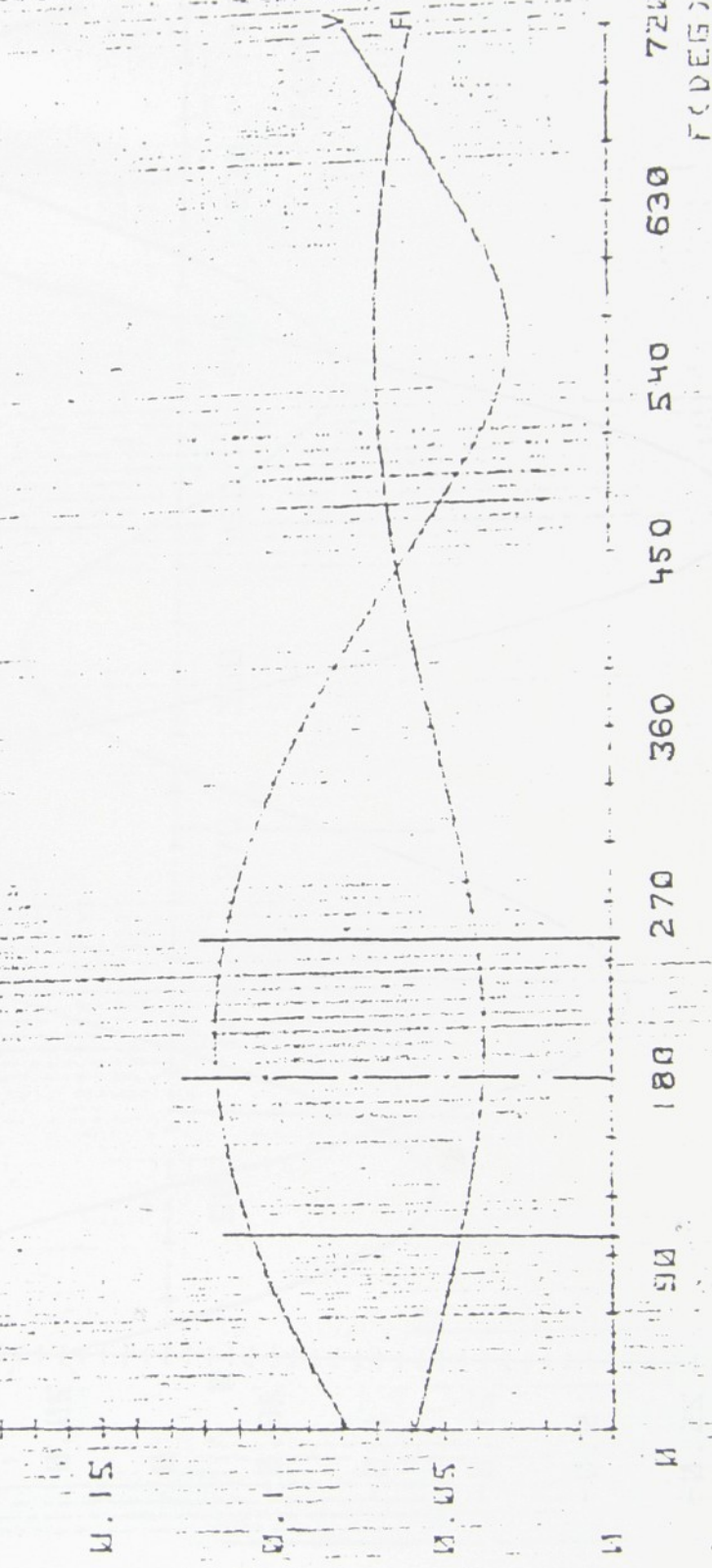
11. 25

11. 15

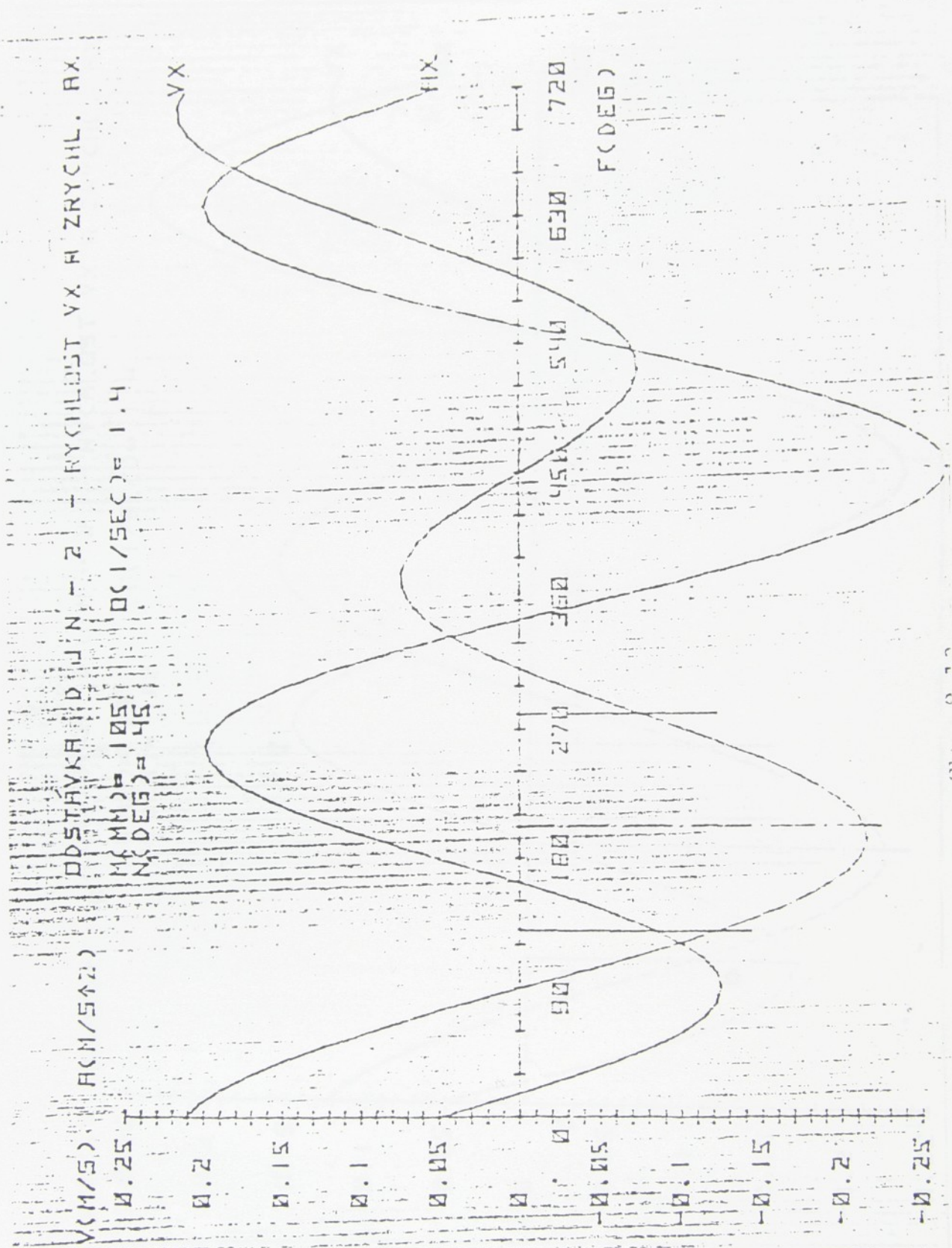
11.

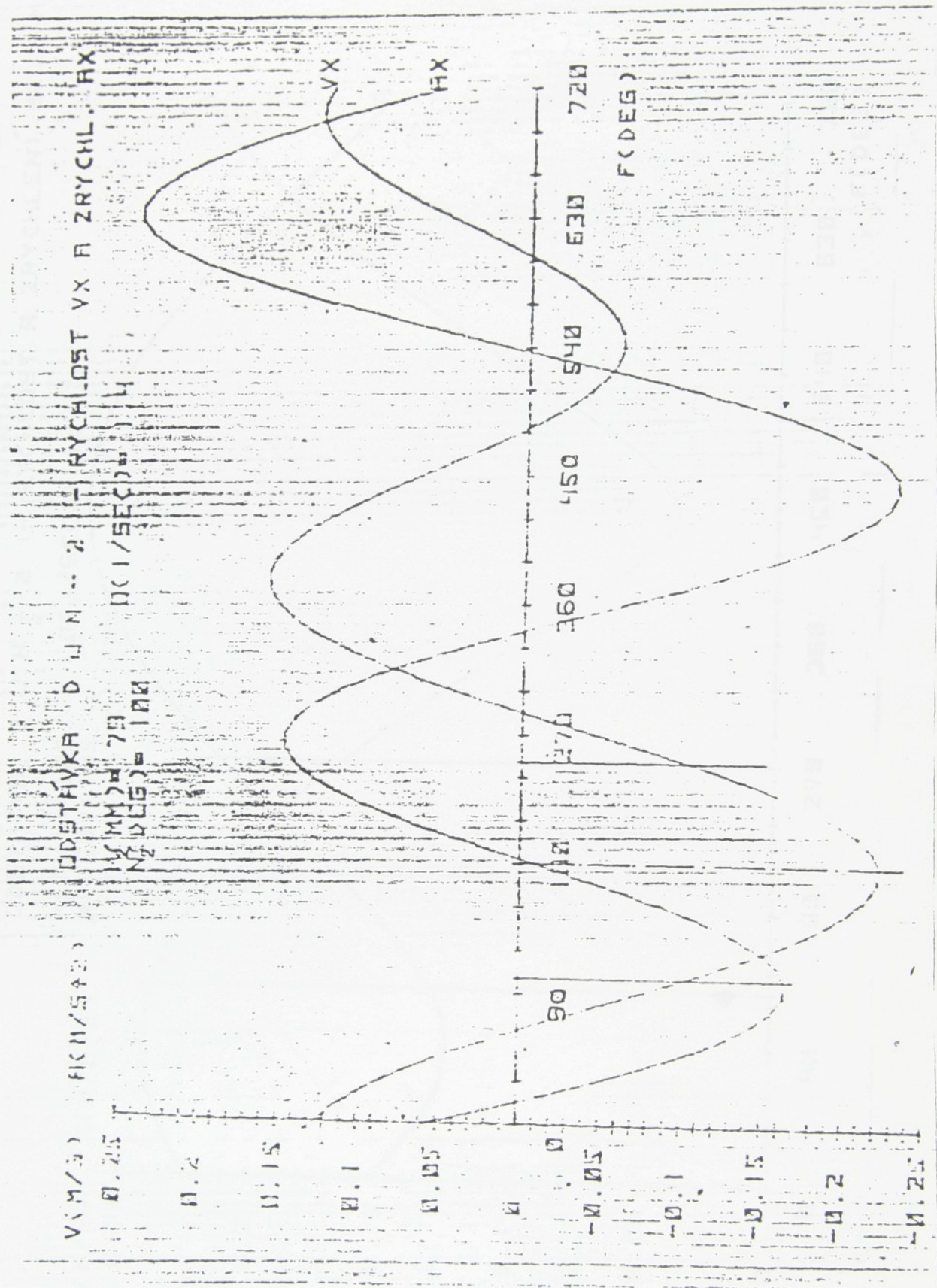
11. 05

11.

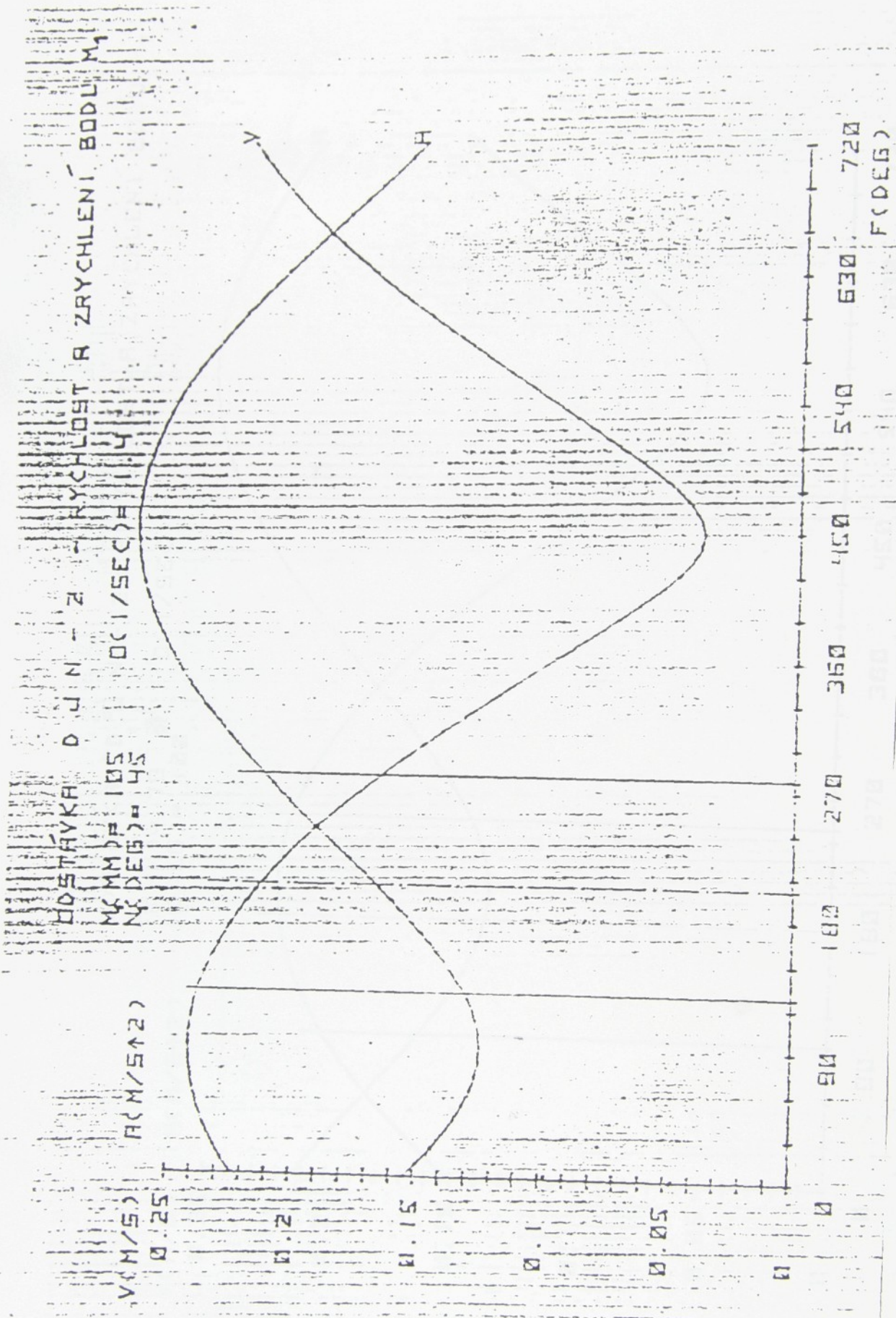


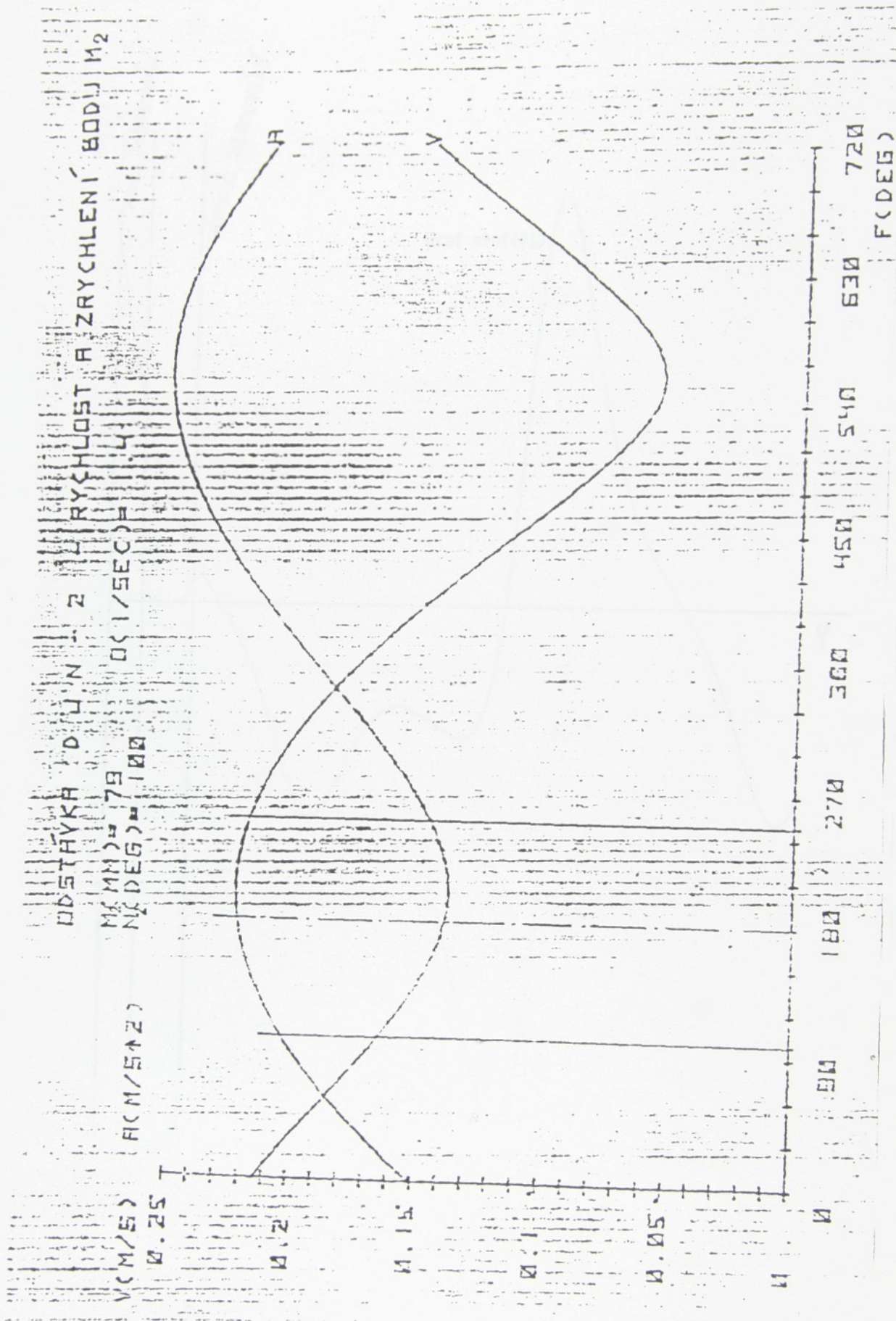
Psiolka 1.3

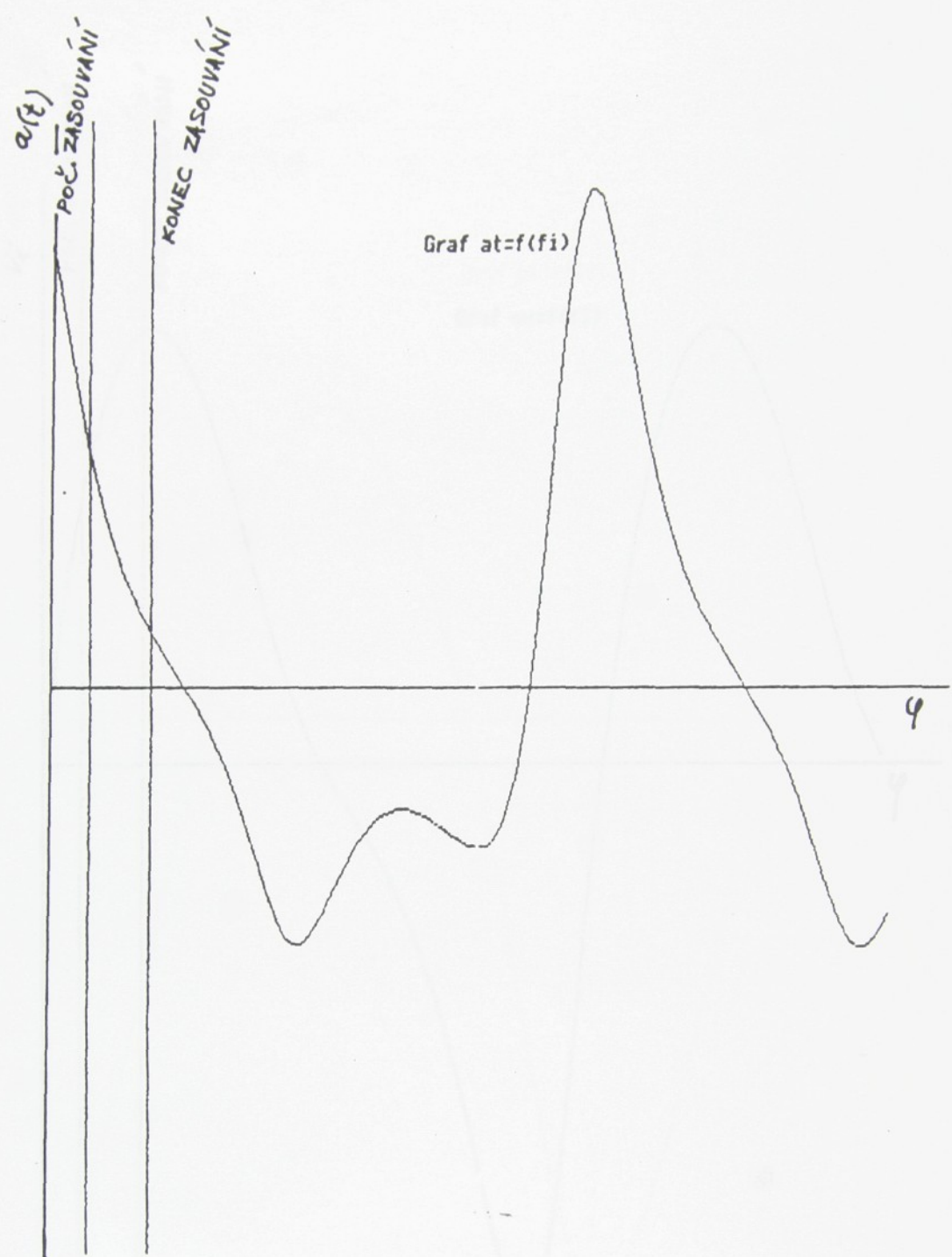


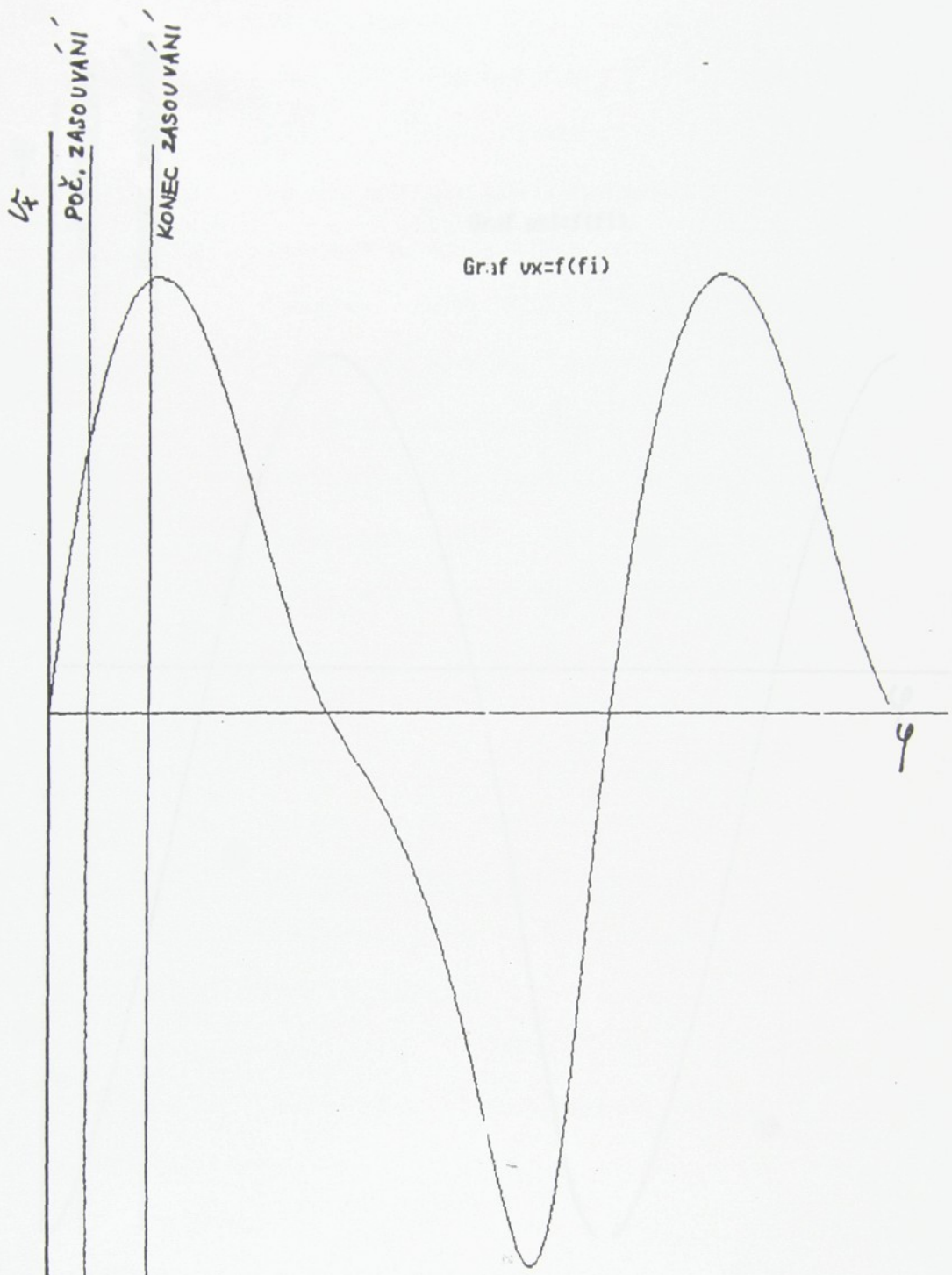


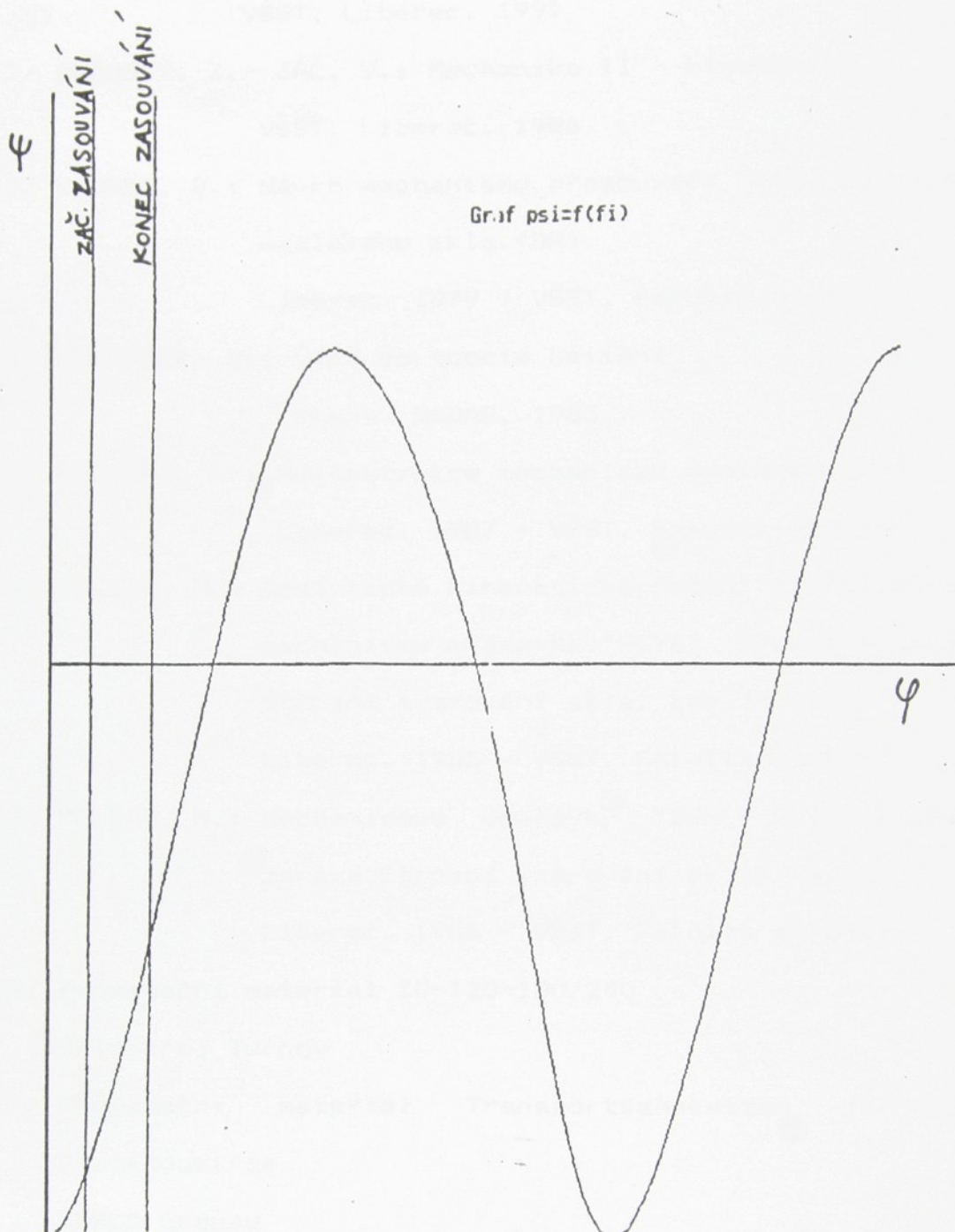
Příloha 1.5











## SEZNAM POUŽITÉ LITERATURY

- /1/ BELDA, J.: Sklářské a keramické stroje I  
VŠST, Liberec, 1991
- /2/ BRADKÝ, Z.- JÁČ, V.: Mechanika II - kinematika  
VŠST, Liberec, 1986
- /3/ HAVRDA, B.: Návrh mechanismu přesouvače linky na výrobu  
obalového skla. (DP)  
Liberec, 1979 - VŠST, Fakulta strojní
- /4/ KOLOUŠEK, V.: Úvod do teorie kmitání  
Praha, NADAŠ, 1965
- /5/ MARUŠKA, K.: Rekonstrukce mechanismu odnímače. (DP)  
Liberec, 1987 - VŠST, Fakulta strojní
- /6/ POLCAR, M.: Analytické kinematické řešení čtyřkloubového  
mechanismu odstávky "HEYE" (výzkumná zpráva  
Strojní tvarování skla, kap.3)  
Liberec, 1986 - VŠST, Fakulta strojní
- /7/ POLCAR, M.: Mechanismus odstávky "DJN - 2" (výzkumná  
zpráva Strojní tvarování skla, kap.2)  
Liberec, 1986 - VŠST, Fakulta strojní
- /8/ Propagační materiál ZO-120-180/240  
Sklostroj Turnov
- /9/ Propagační materiál Transportzahnketten fur die  
Glasindustrie  
WABCO Gronau
- /10/ SMRČEK, A.: Strojní tvarování skla  
Praha, SNTL, 1981
- /11/ VÁVRA, P. A KOL.: Strojnické tabulky  
Praha, SNTL 2 opravené vydání, 1984